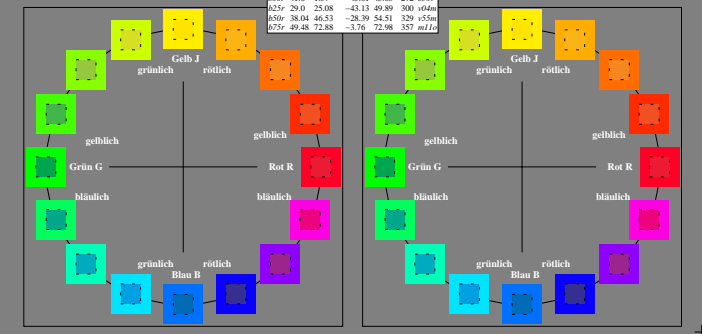


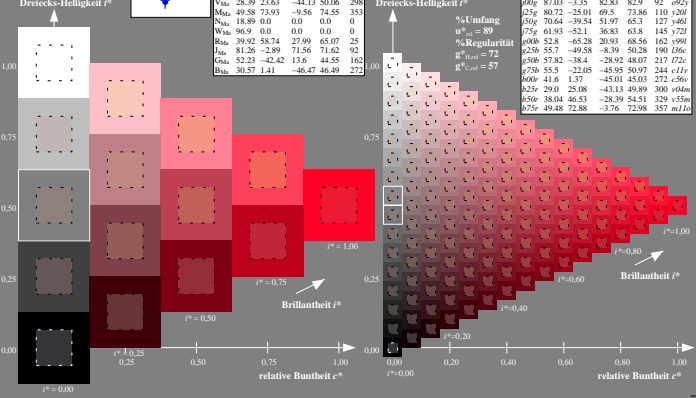
Ein und Ausgabe: Farbmetrisches Drucker-Reflexiv-System ORS19_96a
Daten für jede Farbe:
 u^*_e und Nummer Nr. = 00 - 15
Elementar-Bunttonextext:
 $u^*_e = 16$ Bunttonextext $00; r25j; ...; b75r$
Kontrastreduzierungs-faktor:
 $c_R = 1.0$

LAB [*] L [*] a [*] b [*]	ORIS19_96a; adaptierte CIELAB-Daten	LAB [*] L [*] a [*] b [*]	ORIS19_96a; adaptierte CIELAB-Daten
D ₅₀	L [*] L [*] a [*] b [*] m ₀	D ₅₀	L [*] L [*] a [*] b [*] m ₀
25j	58.85 23.29 47.48 70.7 42 0i75	73.63 25 m046	58.85 23.29 47.48 70.7 42 0i75
50j	65.43 32.22 58.37 68.17 59 0a25	65.43 32.22 58.37 68.17 59 0a25	65.43 32.22 58.37 68.17 59 0a25
75j	75.19 17.82 69.41 71.66 76 0e75	75.19 17.82 69.41 71.66 76 0e75	75.19 17.82 69.41 71.66 76 0e75
100j	87.03 -3.35 82.83 82.9 92 0e25	87.03 -3.35 82.83 82.9 92 0e25	87.03 -3.35 82.83 82.9 92 0e25
125j	80.72 -25.01 69.5 73.86 110 200	80.72 -25.01 69.5 73.86 110 200	80.72 -25.01 69.5 73.86 110 200
150j	70.64 -39.54 51.97 65.3 127 0a60	70.64 -39.54 51.97 65.3 127 0a60	70.64 -39.54 51.97 65.3 127 0a60
175j	61.93 -52.1 36.83 63.8 145 727	61.93 -52.1 36.83 63.8 145 727	61.93 -52.1 36.83 63.8 145 727
200j	52.8 65.28 20.93 68.56 162 090	52.8 65.28 20.93 68.56 162 090	52.8 65.28 20.93 68.56 162 090
225j	55.7 -49.58 -8.39 50.28 190 186	55.7 -49.58 -8.39 50.28 190 186	55.7 -49.58 -8.39 50.28 190 186
250j	57.82 -38.4 -28.82 48.07 217 72e	57.82 -38.4 -28.82 48.07 217 72e	57.82 -38.4 -28.82 48.07 217 72e
275j	55.5 -22.05 -45.95 50.97 244 0i10	55.5 -22.05 -45.95 50.97 244 0i10	55.5 -22.05 -45.95 50.97 244 0i10
300j	41.6 1.37 -45.01 45.03 272 056	41.6 1.37 -45.01 45.03 272 056	41.6 1.37 -45.01 45.03 272 056
325j	29.0 25.08 -43.13 49.89 300 046	29.0 25.08 -43.13 49.89 300 046	29.0 25.08 -43.13 49.89 300 046
350j	38.04 46.53 -28.39 54.51 329 058	38.04 46.53 -28.39 54.51 329 058	38.04 46.53 -28.39 54.51 329 058
375j	49.48 72.88 -3.76 72.98 357 0i10	49.48 72.88 -3.76 72.98 357 0i10	49.48 72.88 -3.76 72.98 357 0i10

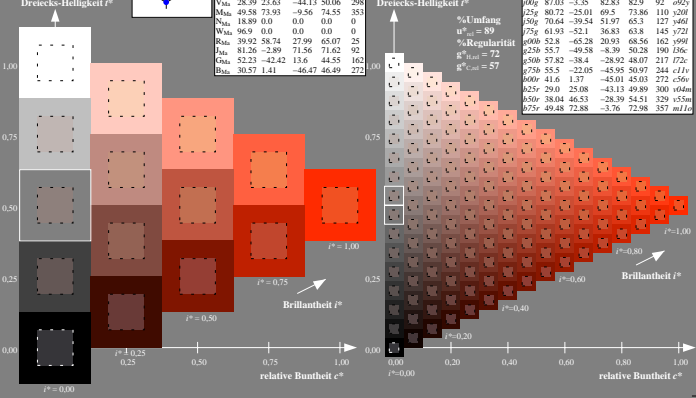
LAB [*] L [*] a [*] b [*]	ORIS19_96a; adaptierte CIELAB-Daten	LAB [*] L [*] a [*] b [*]	ORIS19_96a; adaptierte CIELAB-Daten
D ₅₀	L [*] L [*] a [*] b [*] m ₀	D ₅₀	L [*] L [*] a [*] b [*] m ₀
25j	58.85 23.29 47.48 70.7 42 0i75	58.85 23.29 47.48 70.7 42 0i75	58.85 23.29 47.48 70.7 42 0i75
50j	65.43 32.22 58.37 68.17 59 0a25	65.43 32.22 58.37 68.17 59 0a25	65.43 32.22 58.37 68.17 59 0a25
75j	75.19 17.82 69.41 71.66 76 0e75	75.19 17.82 69.41 71.66 76 0e75	75.19 17.82 69.41 71.66 76 0e75
100j	87.03 -3.35 82.83 82.9 92 0e25	87.03 -3.35 82.83 82.9 92 0e25	87.03 -3.35 82.83 82.9 92 0e25
125j	80.72 -25.01 69.5 73.86 110 200	80.72 -25.01 69.5 73.86 110 200	80.72 -25.01 69.5 73.86 110 200
150j	70.64 -39.54 51.97 65.3 127 0a60	70.64 -39.54 51.97 65.3 127 0a60	70.64 -39.54 51.97 65.3 127 0a60
175j	61.93 -52.1 36.83 63.8 145 727	61.93 -52.1 36.83 63.8 145 727	61.93 -52.1 36.83 63.8 145 727
200j	52.8 65.28 20.93 68.56 162 090	52.8 65.28 20.93 68.56 162 090	52.8 65.28 20.93 68.56 162 090
225j	55.7 -49.58 -8.39 50.28 190 186	55.7 -49.58 -8.39 50.28 190 186	55.7 -49.58 -8.39 50.28 190 186
250j	57.82 -38.4 -28.82 48.07 217 72e	57.82 -38.4 -28.82 48.07 217 72e	57.82 -38.4 -28.82 48.07 217 72e
275j	55.5 -22.05 -45.95 50.97 244 0i10	55.5 -22.05 -45.95 50.97 244 0i10	55.5 -22.05 -45.95 50.97 244 0i10
300j	41.6 1.37 -45.01 45.03 272 056	41.6 1.37 -45.01 45.03 272 056	41.6 1.37 -45.01 45.03 272 056
325j	29.0 25.08 -43.13 49.89 300 046	29.0 25.08 -43.13 49.89 300 046	29.0 25.08 -43.13 49.89 300 046
350j	38.04 46.53 -28.39 54.51 329 058	38.04 46.53 -28.39 54.51 329 058	38.04 46.53 -28.39 54.51 329 058
375j	49.48 72.88 -3.76 72.98 357 0i10	49.48 72.88 -3.76 72.98 357 0i10	49.48 72.88 -3.76 72.98 357 0i10



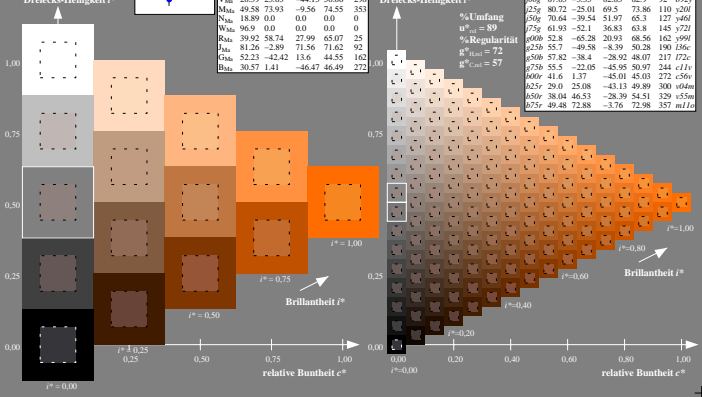
Ein und Ausgabe: Farbmetrisches Drucker-Reflexiv-System ORS19_96, L* = 19_96 für relativen CIELAB-Buntton $h^* = lab^*h^* = h_{ab}/360 = 0.071$ $u^*_e = 000$
Daten für jede Farbe:
 lab^*ch^* und lab^*icu^*
Bunttonextext:
 $u^*_e = r00j$ $u^*_d = m80$
Kontrastreduzierungs-faktor:
 $c_R = 1.0$
Dreiecks-Helligkeit l^*



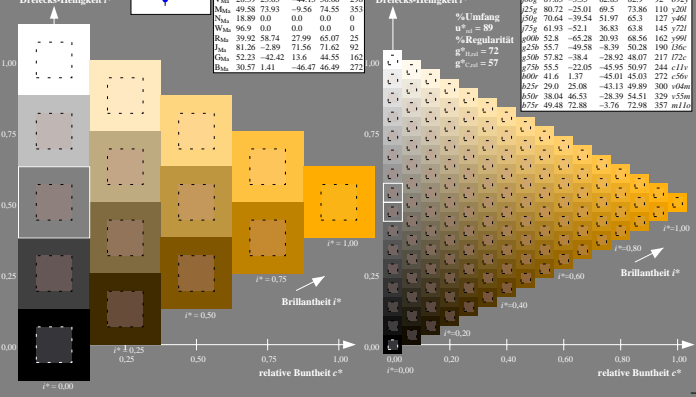
Ein und Ausgabe: Farbmetrisches Drucker-Reflexiv-System ORS19_96, L* = 19_96 für relativen CIELAB-Buntton $h^* = lab^*h^* = h_{ab}/360 = 0.117$ $u^*_e = r25j$
Daten für jede Farbe:
 lab^*ch^* und lab^*icu^*
Bunttonextext:
 $u^*_e = r25j$ $u^*_d = 0i75$
Kontrastreduzierungs-faktor:
 $c_R = 1.0$
Dreiecks-Helligkeit l^*



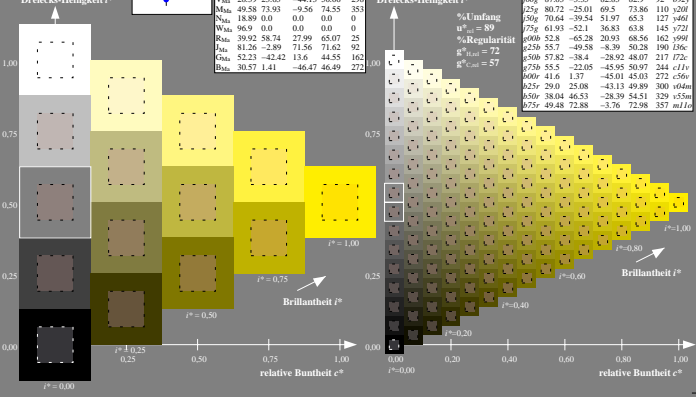
Ein und Ausgabe: Farbmetrisches Drucker-Reflexiv-System ORS19_96, L* = 19_96 für relativen CIELAB-Buntton $h^* = lab^*h^* = h_{ab}/360 = 0.164$ $u^*_e = r50j$
Daten für jede Farbe:
 lab^*ch^* und lab^*icu^*
Bunttonextext:
 $u^*_e = r50j$ $u^*_d = 0i25$
Kontrastreduzierungs-faktor:
 $c_R = 1.0$
Dreiecks-Helligkeit l^*



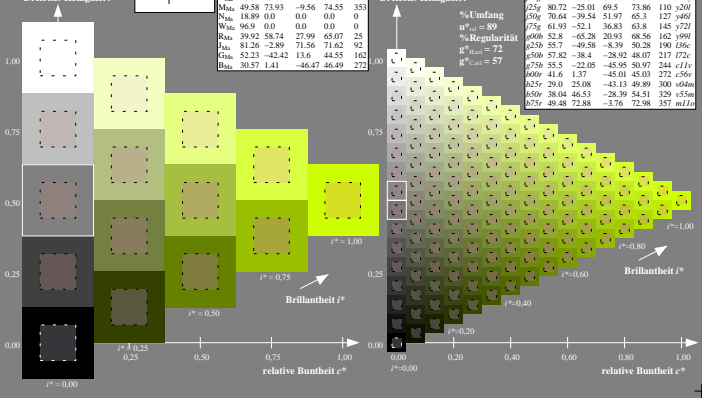
Ein und Ausgabe: Farbmetrisches Drucker-Reflexiv-System ORS19_96, L* = 19_96 für relativen CIELAB-Buntton $h^* = lab^*h^* = h_{ab}/360 = 0.21$ $u^*_e = r75j$
Daten für jede Farbe:
 lab^*ch^* und lab^*icu^*
Bunttonextext:
 $u^*_e = r75j$ $u^*_d = 0e75$
Kontrastreduzierungs-faktor:
 $c_R = 1.0$
Dreiecks-Helligkeit l^*



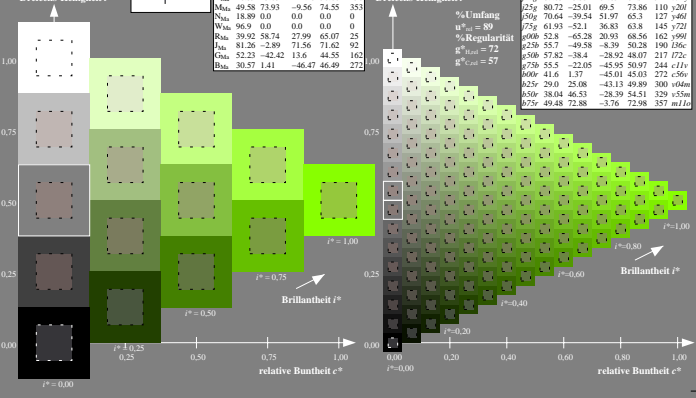
Ein und Ausgabe: Farbmetrisches Drucker-Reflexiv-System ORS19_96, L* = 19_96 für relativen CIELAB-Buntton $h^* = lab^*h^* = h_{ab}/360 = 0.256$ $u^*_e = 000g$
Daten für jede Farbe:
 lab^*ch^* und lab^*icu^*
Bunttonextext:
 $u^*_e = 000g$ $u^*_d = 0e25$
Kontrastreduzierungs-faktor:
 $c_R = 1.0$
Dreiecks-Helligkeit l^*



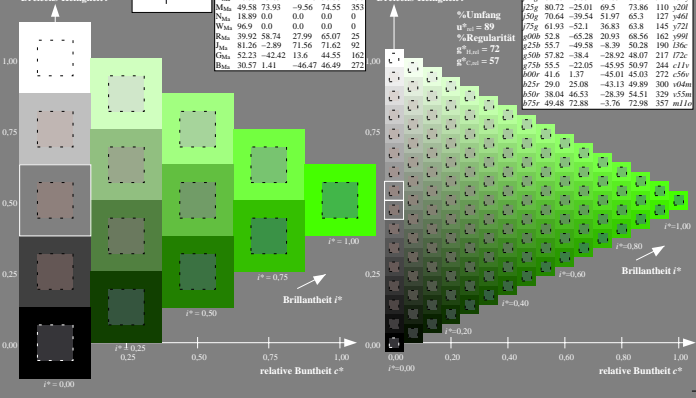
Ein und Ausgabe: Farbmetrisches Drucker-Reflexiv-System ORS19_96, L* = 19_96 für relativen CIELAB-Buntton $h^* = lab^*h^* = h_{ab}/360 = 0.305$ $u^*_e = r25g$
Daten für jede Farbe:
 lab^*ch^* und lab^*icu^*
Bunttonextext:
 $u^*_e = r25g$ $u^*_d = r20l$
Kontrastreduzierungs-faktor:
 $c_R = 1.0$
Dreiecks-Helligkeit l^*

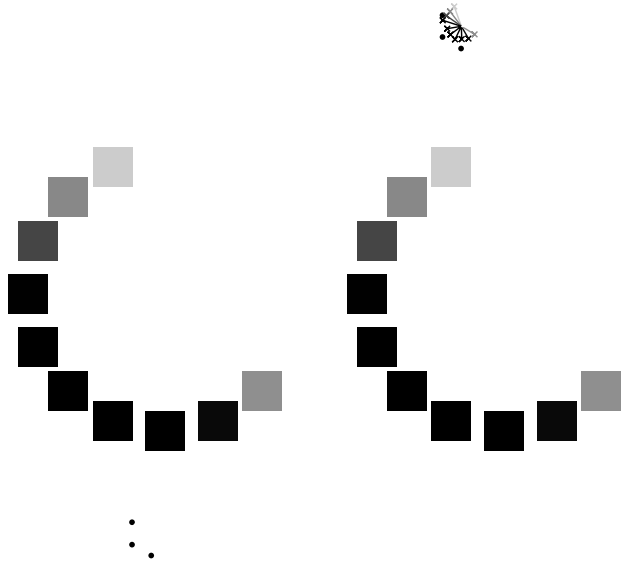


Ein und Ausgabe: Farbmetrisches Drucker-Reflexiv-System ORS19_96, L* = 19_96 für relativen CIELAB-Buntton $h^* = lab^*h^* = h_{ab}/360 = 0.354$ $u^*_e = r50g$
Daten für jede Farbe:
 lab^*ch^* und lab^*icu^*
Bunttonextext:
 $u^*_e = r50g$ $u^*_d = r40l$
Kontrastreduzierungs-faktor:
 $c_R = 1.0$
Dreiecks-Helligkeit l^*



Ein und Ausgabe: Farbmetrisches Drucker-Reflexiv-System ORS19_96, L* = 19_96 für relativen CIELAB-Buntton $h^* = lab^*h^* = h_{ab}/360 = 0.402$ $u^*_e = r75g$
Daten für jede Farbe:
 lab^*ch^* und lab^*icu^*
Bunttonextext:
 $u^*_e = r75g$ $u^*_d = r72l$
Kontrastreduzierungs-faktor:
 $c_R = 1.0$
Dreiecks-Helligkeit l^*





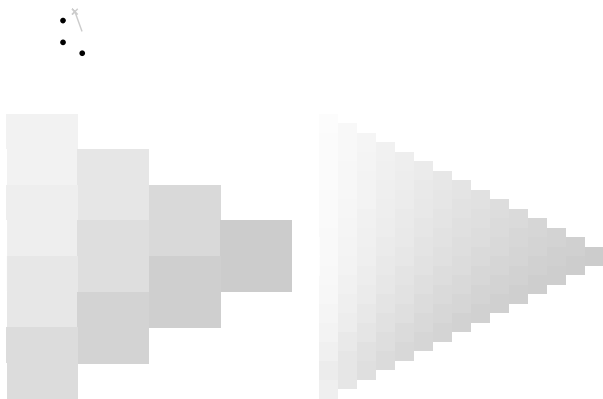
⋮

⋮

⋮

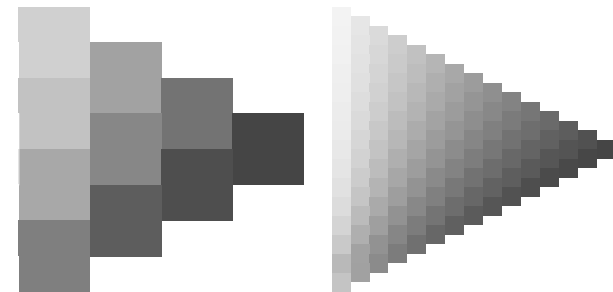
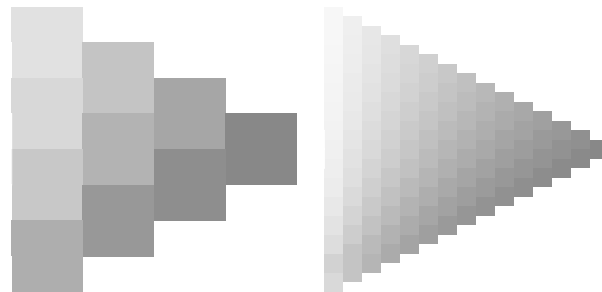
⋮

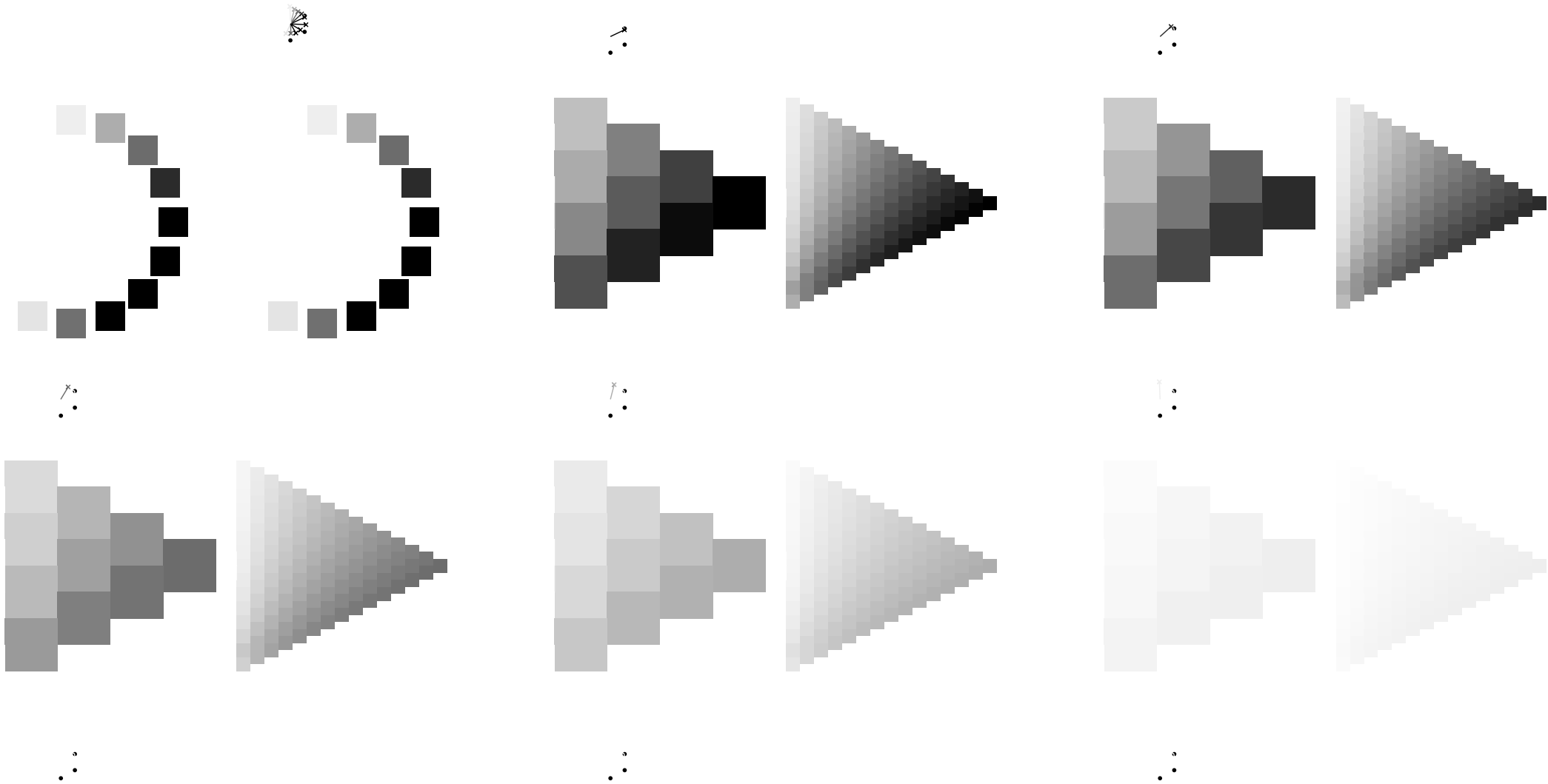
⋮

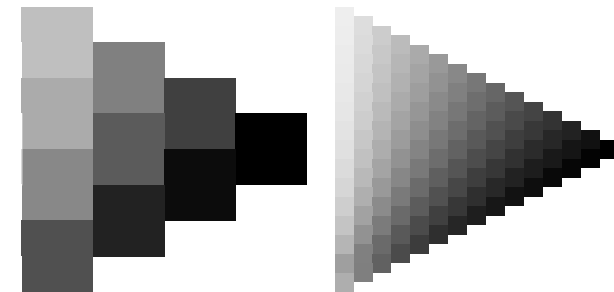
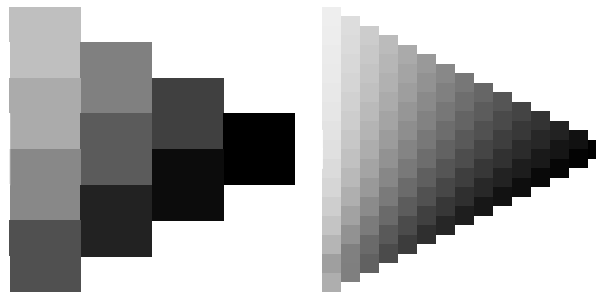
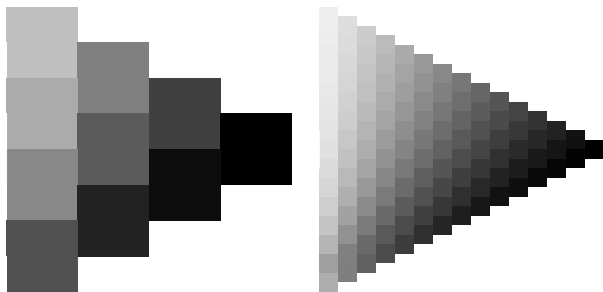
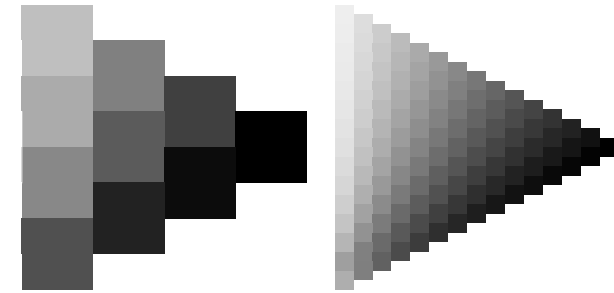
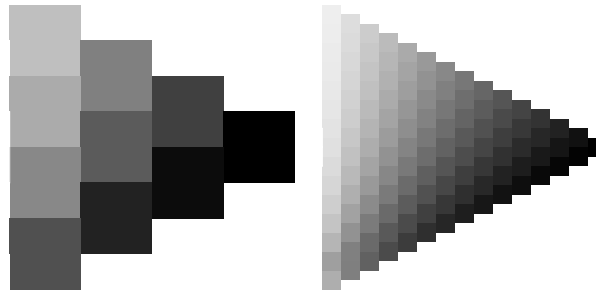
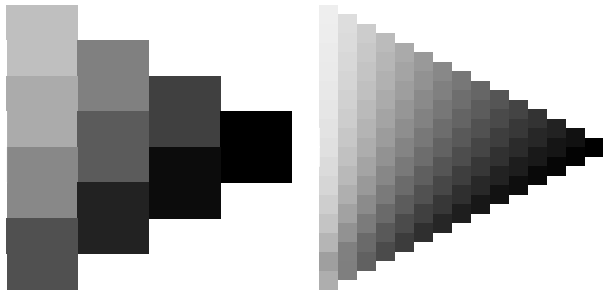
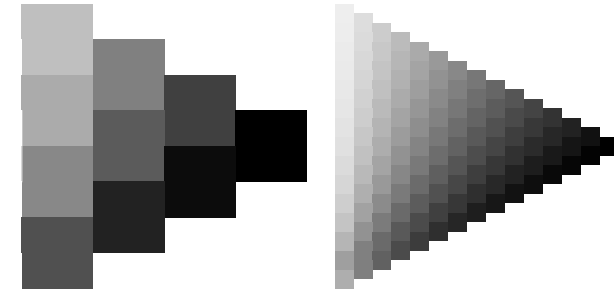
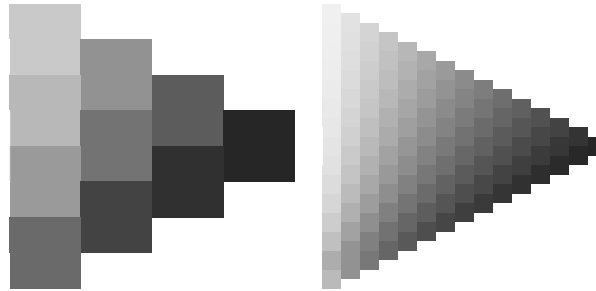
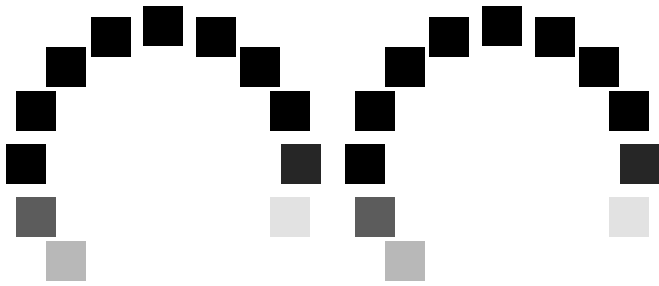


⋮

⋮



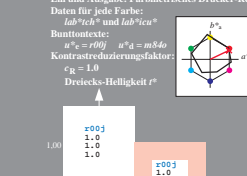




Ein und Ausgabe: Farbmetrisches Drucker-Reflexiv-System ORS19_96a
 Daten für jede Farbe:
 u^*_e und Nummer Nr. = 00...15
 Elementar-Bunttonexte:
 $u^*_e = 16$ Bunttonexte 00j, 25j, ..., 1575j
 Kontrastreduzierungsfaktor:
 $c_R = 1.0$

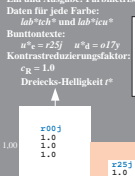
ORS19_96a; adaptierte CIELAB-Daten
 L^*, a^*, b^*
 Daten für Maximalfarbe (Ma):
 LAB*LAB*Ma: 73.63 25 m04a
 LAB*LCH*Ma: 49.66 32
 Lab*rgb*Ma: 0.0 0.0 0.0
 Dreiecks-Helligkeit I*
 %Umfang
 $u^*_e = 89$
 %Regularität
 $R^*_{reg} = 72$
 $R^*_{reg} = 57$

ORS19_96a; adaptierte CIELAB-Daten
 L^*, a^*, b^*
 Daten für Maximalfarbe (Ma):
 LAB*LAB*Ma: 73.63 25 m04a
 LAB*LCH*Ma: 49.66 32
 Lab*rgb*Ma: 0.0 0.0 0.0
 Dreiecks-Helligkeit I*
 %Umfang
 $u^*_e = 89$
 %Regularität
 $R^*_{reg} = 72$
 $R^*_{reg} = 57$



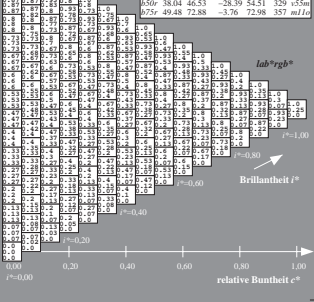
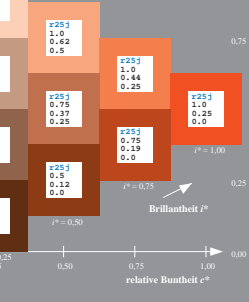
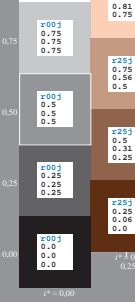
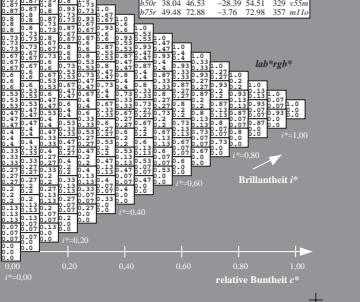
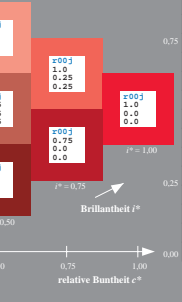
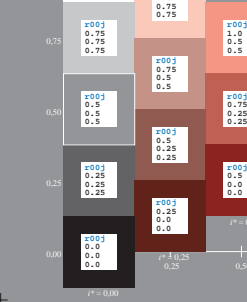
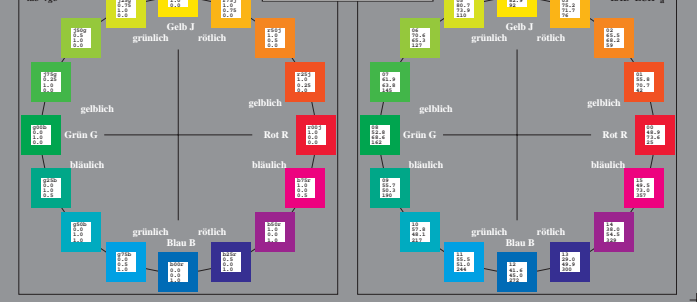
Ein und Ausgabe: Farbmetrisches Drucker-Reflexiv-System ORS19_96 für relativen CIELAB-Buntton $h^* = lab^*h^* = h_{ab}/360 = 0.071$ $u^*_e = 00j$
 Daten für jede Farbe:
 lab^*h^* und lab^*v^*
 Bunttonexte:
 $u^*_e = 00j$ $u^*_a = m04a$
 Kontrastreduzierungsfaktor:
 $c_R = 1.0$
 Dreiecks-Helligkeit I*
 %Umfang
 $u^*_e = 89$
 %Regularität
 $R^*_{reg} = 72$
 $R^*_{reg} = 57$

Ein und Ausgabe: Farbmetrisches Drucker-Reflexiv-System ORS19_96 für relativen CIELAB-Buntton $h^* = lab^*h^* = h_{ab}/360 = 0.071$ $u^*_e = 00j$
 Daten für Maximalfarbe (Ma):
 LAB*LAB*Ma: 49.66 32
 LAB*LCH*Ma: 49.74 25
 Lab*rgb*Ma: 1.0 0.0 0.0
 Dreiecks-Helligkeit I*
 %Umfang
 $u^*_e = 89$
 %Regularität
 $R^*_{reg} = 72$
 $R^*_{reg} = 57$



Ein und Ausgabe: Farbmetrisches Drucker-Reflexiv-System ORS19_96 für relativen CIELAB-Buntton $h^* = lab^*h^* = h_{ab}/360 = 0.117$ $u^*_e = 25j$
 Daten für jede Farbe:
 lab^*h^* und lab^*v^*
 Bunttonexte:
 $u^*_e = 25j$ $u^*_a = 017j$
 Kontrastreduzierungsfaktor:
 $c_R = 1.0$
 Dreiecks-Helligkeit I*
 %Umfang
 $u^*_e = 89$
 %Regularität
 $R^*_{reg} = 72$
 $R^*_{reg} = 57$

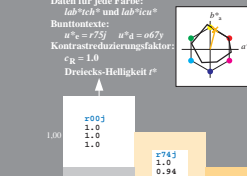
Ein und Ausgabe: Farbmetrisches Drucker-Reflexiv-System ORS19_96 für relativen CIELAB-Buntton $h^* = lab^*h^* = h_{ab}/360 = 0.117$ $u^*_e = 25j$
 Daten für Maximalfarbe (Ma):
 LAB*LAB*Ma: 56.53 47
 LAB*LCH*Ma: 56.71 42
 Lab*rgb*Ma: 1.0 0.25 0.0
 Dreiecks-Helligkeit I*
 %Umfang
 $u^*_e = 89$
 %Regularität
 $R^*_{reg} = 72$
 $R^*_{reg} = 57$



Ein und Ausgabe: Farbmetrisches Drucker-Reflexiv-System ORS19_96 für relativen CIELAB-Buntton $h^* = lab^*h^* = h_{ab}/360 = 0.164$ $u^*_e = 25j$
 Daten für jede Farbe:
 lab^*h^* und lab^*v^*
 Bunttonexte:
 $u^*_e = 25j$ $u^*_a = 022j$
 Kontrastreduzierungsfaktor:
 $c_R = 1.0$
 Dreiecks-Helligkeit I*
 %Umfang
 $u^*_e = 89$
 %Regularität
 $R^*_{reg} = 72$
 $R^*_{reg} = 57$

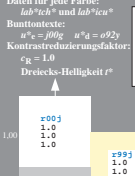
ORS19_96a; adaptierte CIELAB-Daten
 L^*, a^*, b^*
 Daten für Maximalfarbe (Ma):
 LAB*LAB*Ma: 65.55 38
 LAB*LCH*Ma: 65.68 38
 Lab*rgb*Ma: 1.0 0.5 0.0
 Dreiecks-Helligkeit I*
 %Umfang
 $u^*_e = 89$
 %Regularität
 $R^*_{reg} = 72$
 $R^*_{reg} = 57$

ORS19_96a; adaptierte CIELAB-Daten
 L^*, a^*, b^*
 Daten für Maximalfarbe (Ma):
 LAB*LAB*Ma: 65.55 38
 LAB*LCH*Ma: 65.68 38
 Lab*rgb*Ma: 1.0 0.5 0.0
 Dreiecks-Helligkeit I*
 %Umfang
 $u^*_e = 89$
 %Regularität
 $R^*_{reg} = 72$
 $R^*_{reg} = 57$



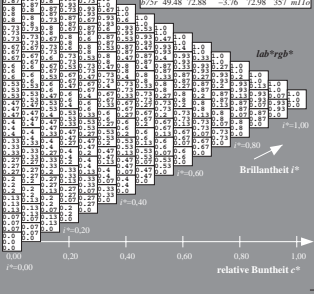
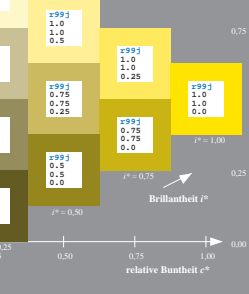
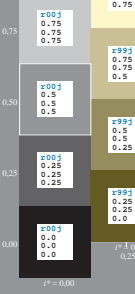
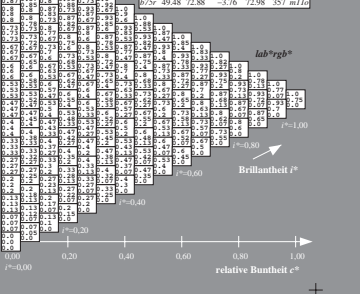
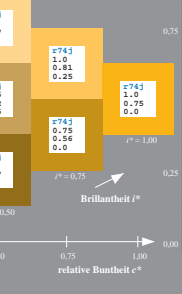
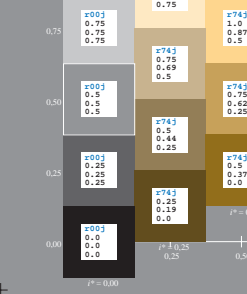
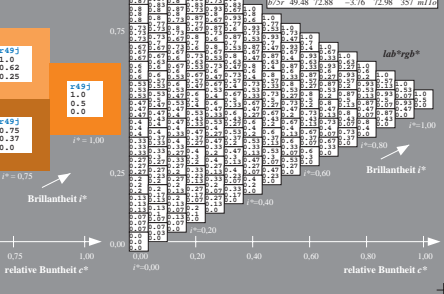
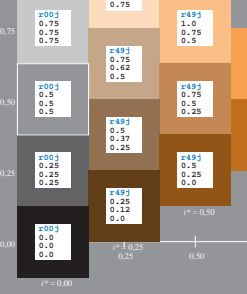
Ein und Ausgabe: Farbmetrisches Drucker-Reflexiv-System ORS19_96 für relativen CIELAB-Buntton $h^* = lab^*h^* = h_{ab}/360 = 0.21$ $u^*_e = 25j$
 Daten für jede Farbe:
 lab^*h^* und lab^*v^*
 Bunttonexte:
 $u^*_e = 25j$ $u^*_a = 027j$
 Kontrastreduzierungsfaktor:
 $c_R = 1.0$
 Dreiecks-Helligkeit I*
 %Umfang
 $u^*_e = 89$
 %Regularität
 $R^*_{reg} = 72$
 $R^*_{reg} = 57$

Ein und Ausgabe: Farbmetrisches Drucker-Reflexiv-System ORS19_96 für relativen CIELAB-Buntton $h^* = lab^*h^* = h_{ab}/360 = 0.21$ $u^*_e = 25j$
 Daten für Maximalfarbe (Ma):
 LAB*LAB*Ma: 75.18 69
 LAB*LCH*Ma: 75.18 69
 Lab*rgb*Ma: 1.0 0.75 0.0
 Dreiecks-Helligkeit I*
 %Umfang
 $u^*_e = 89$
 %Regularität
 $R^*_{reg} = 72$
 $R^*_{reg} = 57$



Ein und Ausgabe: Farbmetrisches Drucker-Reflexiv-System ORS19_96 für relativen CIELAB-Buntton $h^* = lab^*h^* = h_{ab}/360 = 0.256$ $u^*_e = 00j$
 Daten für jede Farbe:
 lab^*h^* und lab^*v^*
 Bunttonexte:
 $u^*_e = 00j$ $u^*_a = 022j$
 Kontrastreduzierungsfaktor:
 $c_R = 1.0$
 Dreiecks-Helligkeit I*
 %Umfang
 $u^*_e = 89$
 %Regularität
 $R^*_{reg} = 72$
 $R^*_{reg} = 57$

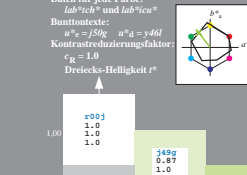
Ein und Ausgabe: Farbmetrisches Drucker-Reflexiv-System ORS19_96 für relativen CIELAB-Buntton $h^* = lab^*h^* = h_{ab}/360 = 0.256$ $u^*_e = 00j$
 Daten für Maximalfarbe (Ma):
 LAB*LAB*Ma: 87.3 83
 LAB*LCH*Ma: 87.83 92
 Lab*rgb*Ma: 1.0 1.0 0.0
 Dreiecks-Helligkeit I*
 %Umfang
 $u^*_e = 89$
 %Regularität
 $R^*_{reg} = 72$
 $R^*_{reg} = 57$



Ein und Ausgabe: Farbmetrisches Drucker-Reflexiv-System ORS19_96 für relativen CIELAB-Buntton $h^* = lab^*h^* = h_{ab}/360 = 0.305$ $u^*_e = 25j$
 Daten für jede Farbe:
 lab^*h^* und lab^*v^*
 Bunttonexte:
 $u^*_e = 25j$ $u^*_a = 201j$
 Kontrastreduzierungsfaktor:
 $c_R = 1.0$
 Dreiecks-Helligkeit I*
 %Umfang
 $u^*_e = 89$
 %Regularität
 $R^*_{reg} = 72$
 $R^*_{reg} = 57$

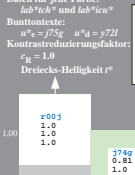
ORS19_96a; adaptierte CIELAB-Daten
 L^*, a^*, b^*
 Daten für Maximalfarbe (Ma):
 LAB*LAB*Ma: 81.25 69
 LAB*LCH*Ma: 81.74 109
 Lab*rgb*Ma: 0.75 1.0 0.0
 Dreiecks-Helligkeit I*
 %Umfang
 $u^*_e = 89$
 %Regularität
 $R^*_{reg} = 72$
 $R^*_{reg} = 57$

ORS19_96a; adaptierte CIELAB-Daten
 L^*, a^*, b^*
 Daten für Maximalfarbe (Ma):
 LAB*LAB*Ma: 81.25 69
 LAB*LCH*Ma: 81.74 109
 Lab*rgb*Ma: 0.75 1.0 0.0
 Dreiecks-Helligkeit I*
 %Umfang
 $u^*_e = 89$
 %Regularität
 $R^*_{reg} = 72$
 $R^*_{reg} = 57$



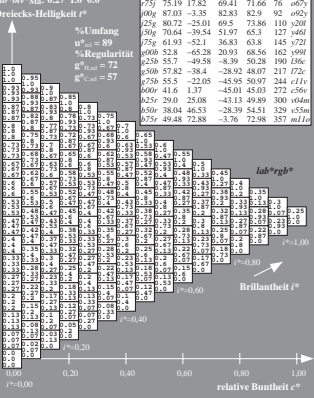
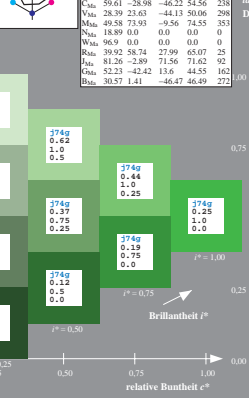
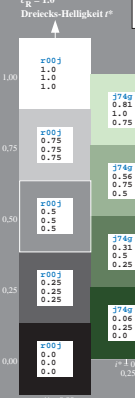
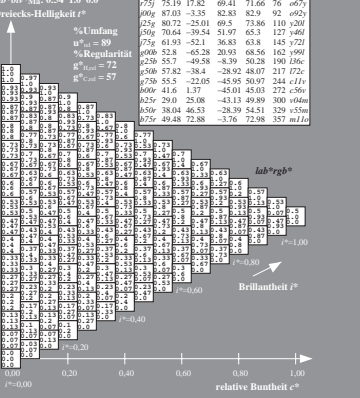
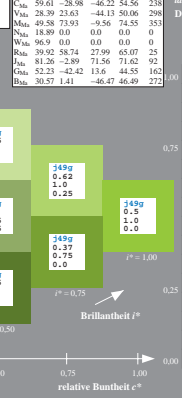
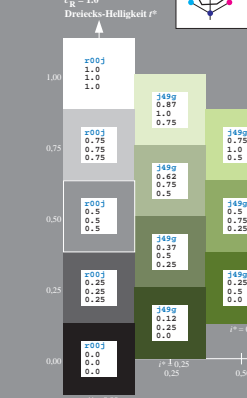
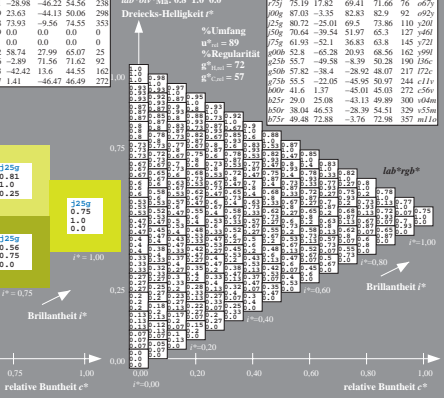
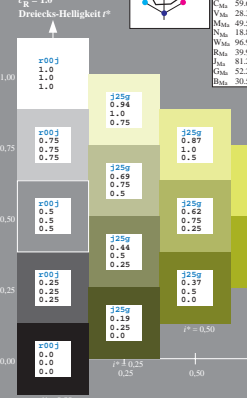
Ein und Ausgabe: Farbmetrisches Drucker-Reflexiv-System ORS19_96 für relativen CIELAB-Buntton $h^* = lab^*h^* = h_{ab}/360 = 0.354$ $u^*_e = 25j$
 Daten für jede Farbe:
 lab^*h^* und lab^*v^*
 Bunttonexte:
 $u^*_e = 25j$ $u^*_a = 240j$
 Kontrastreduzierungsfaktor:
 $c_R = 1.0$
 Dreiecks-Helligkeit I*
 %Umfang
 $u^*_e = 89$
 %Regularität
 $R^*_{reg} = 72$
 $R^*_{reg} = 57$

Ein und Ausgabe: Farbmetrisches Drucker-Reflexiv-System ORS19_96 für relativen CIELAB-Buntton $h^* = lab^*h^* = h_{ab}/360 = 0.354$ $u^*_e = 25j$
 Daten für Maximalfarbe (Ma):
 LAB*LAB*Ma: 71.40 52
 LAB*LCH*Ma: 71.65 127
 Lab*rgb*Ma: 0.5 1.0 0.0
 Dreiecks-Helligkeit I*
 %Umfang
 $u^*_e = 89$
 %Regularität
 $R^*_{reg} = 72$
 $R^*_{reg} = 57$



Ein und Ausgabe: Farbmetrisches Drucker-Reflexiv-System ORS19_96 für relativen CIELAB-Buntton $h^* = lab^*h^* = h_{ab}/360 = 0.402$ $u^*_e = 25j$
 Daten für jede Farbe:
 lab^*h^* und lab^*v^*
 Bunttonexte:
 $u^*_e = 25j$ $u^*_a = 272j$
 Kontrastreduzierungsfaktor:
 $c_R = 1.0$
 Dreiecks-Helligkeit I*
 %Umfang
 $u^*_e = 89$
 %Regularität
 $R^*_{reg} = 72$
 $R^*_{reg} = 57$

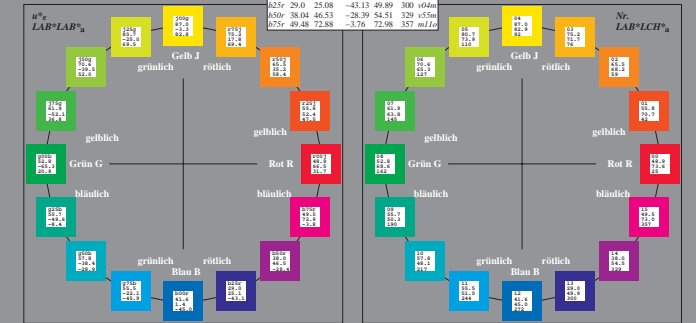
Ein und Ausgabe: Farbmetrisches Drucker-Reflexiv-System ORS19_96 für relativen CIELAB-Buntton $h^* = lab^*h^* = h_{ab}/360 = 0.402$ $u^*_e = 25j$
 Daten für Maximalfarbe (Ma):
 LAB*LAB*Ma: 62.52 37
 LAB*LCH*Ma: 62.64 144
 Lab*rgb*Ma: 0.25 1.0 0.0
 Dreiecks-Helligkeit I*
 %Umfang
 $u^*_e = 89$
 %Regularität
 $R^*_{reg} = 72$
 $R^*_{reg} = 57$



Ein und Ausgabe: Farbmetrisches Drucker-Reflektiv-System ORS19_96a
Farbmetrisches Drucker-Reflektiv-System ORS19_96a
Daten für jede Farbe:
 u^*_R, u^*_G, u^*_B und Nummer $N = 00 \dots 15$
Elementar-Bunttonwerte:
 $u^*_R = 16$ Bunttonwerte: $00^*_{25}, \dots, 00^*_{15}$
Kontrastreduzierungsfaktor:
 $c_R = 1.0$

ORS19_96a; adaptierte CIELAB-Daten
Daten für Maximalfarbe (Ma):
LAB*LAB*Ma: 65 53 88
LAB*LCH*Ma: 65 68 58
%Umfang $u^*_R = 89$
%Regulartät $u^*_G = 72$
 $\beta^*_{a,b} = 57$

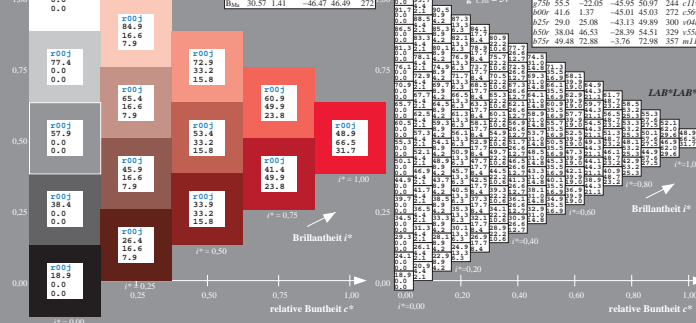
ORS19_96a; adaptierte CIELAB-Daten
Daten für Maximalfarbe (Ma):
LAB*LAB*Ma: 65 53 88
LAB*LCH*Ma: 65 68 58
%Umfang $u^*_R = 89$
%Regulartät $u^*_G = 72$
 $\beta^*_{a,b} = 57$



Ein und Ausgabe: Farbmetrisches Drucker-Reflektiv-System ORS19_96, L* = 19_96 für relativen CIELAB-Buntton $h^* = lab^*h^* = h_{ab}/360 = 0.071$ $u^*_R = 100$
Farbmetrisches Drucker-Reflektiv-System ORS19_96, L* = 19_96 für relativen CIELAB-Buntton $h^* = lab^*h^* = h_{ab}/360 = 0.071$ $u^*_R = 100$
Daten für jede Farbe:
 lab^*h^* und lab^*v^*
Bunttonwerte:
 $u^*_R = 100$ $u^*_G = m80$
Kontrastreduzierungsfaktor:
 $c_R = 1.0$
Dreiecks-Heiligkeit β^*

ORS19_96a; adaptierte CIELAB-Daten
Daten für Maximalfarbe (Ma):
LAB*LAB*Ma: 49 66 31
LAB*LCH*Ma: 49 66 31
%Umfang $u^*_R = 89$
%Regulartät $u^*_G = 72$
 $\beta^*_{a,b} = 57$

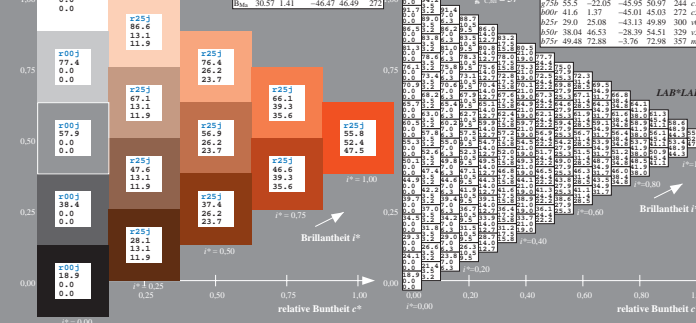
ORS19_96a; adaptierte CIELAB-Daten
Daten für Maximalfarbe (Ma):
LAB*LAB*Ma: 49 66 31
LAB*LCH*Ma: 49 66 31
%Umfang $u^*_R = 89$
%Regulartät $u^*_G = 72$
 $\beta^*_{a,b} = 57$



Ein und Ausgabe: Farbmetrisches Drucker-Reflektiv-System ORS19_96, L* = 19_96 für relativen CIELAB-Buntton $h^* = lab^*h^* = h_{ab}/360 = 0.117$ $u^*_R = 25$
Farbmetrisches Drucker-Reflektiv-System ORS19_96, L* = 19_96 für relativen CIELAB-Buntton $h^* = lab^*h^* = h_{ab}/360 = 0.117$ $u^*_R = 25$
Daten für jede Farbe:
 lab^*h^* und lab^*v^*
Bunttonwerte:
 $u^*_R = 25$ $u^*_G = 0.7$
Kontrastreduzierungsfaktor:
 $c_R = 1.0$
Dreiecks-Heiligkeit β^*

ORS19_96a; adaptierte CIELAB-Daten
Daten für Maximalfarbe (Ma):
LAB*LAB*Ma: 56 53 47
LAB*LCH*Ma: 56 71 42
%Umfang $u^*_R = 89$
%Regulartät $u^*_G = 72$
 $\beta^*_{a,b} = 57$

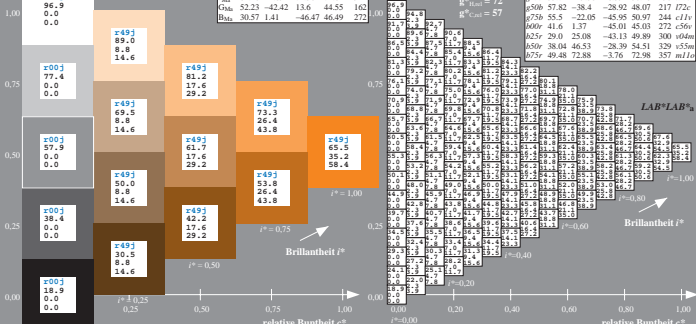
ORS19_96a; adaptierte CIELAB-Daten
Daten für Maximalfarbe (Ma):
LAB*LAB*Ma: 56 53 47
LAB*LCH*Ma: 56 71 42
%Umfang $u^*_R = 89$
%Regulartät $u^*_G = 72$
 $\beta^*_{a,b} = 57$



Ein und Ausgabe: Farbmetrisches Drucker-Reflektiv-System ORS19_96, L* = 19_96 für relativen CIELAB-Buntton $h^* = lab^*h^* = h_{ab}/360 = 0.164$ $u^*_R = 250$
Farbmetrisches Drucker-Reflektiv-System ORS19_96, L* = 19_96 für relativen CIELAB-Buntton $h^* = lab^*h^* = h_{ab}/360 = 0.164$ $u^*_R = 250$
Daten für jede Farbe:
 lab^*h^* und lab^*v^*
Bunttonwerte:
 $u^*_R = 250$ $u^*_G = 0.2$
Kontrastreduzierungsfaktor:
 $c_R = 1.0$
Dreiecks-Heiligkeit β^*

ORS19_96a; adaptierte CIELAB-Daten
Daten für Maximalfarbe (Ma):
LAB*LAB*Ma: 65 53 88
LAB*LCH*Ma: 65 68 58
%Umfang $u^*_R = 89$
%Regulartät $u^*_G = 72$
 $\beta^*_{a,b} = 57$

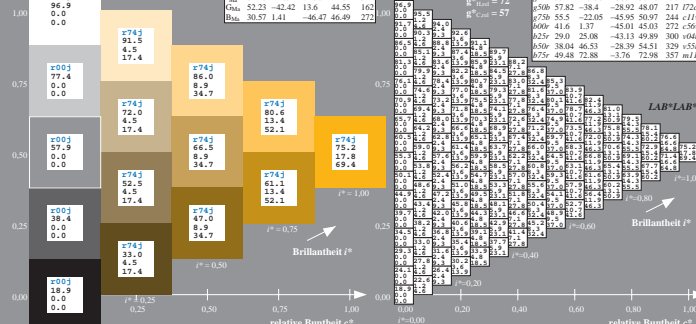
ORS19_96a; adaptierte CIELAB-Daten
Daten für Maximalfarbe (Ma):
LAB*LAB*Ma: 65 53 88
LAB*LCH*Ma: 65 68 58
%Umfang $u^*_R = 89$
%Regulartät $u^*_G = 72$
 $\beta^*_{a,b} = 57$



Ein und Ausgabe: Farbmetrisches Drucker-Reflektiv-System ORS19_96, L* = 19_96 für relativen CIELAB-Buntton $h^* = lab^*h^* = h_{ab}/360 = 0.21$ $u^*_R = 250$
Farbmetrisches Drucker-Reflektiv-System ORS19_96, L* = 19_96 für relativen CIELAB-Buntton $h^* = lab^*h^* = h_{ab}/360 = 0.21$ $u^*_R = 250$
Daten für jede Farbe:
 lab^*h^* und lab^*v^*
Bunttonwerte:
 $u^*_R = 250$ $u^*_G = 0.2$
Kontrastreduzierungsfaktor:
 $c_R = 1.0$
Dreiecks-Heiligkeit β^*

ORS19_96a; adaptierte CIELAB-Daten
Daten für Maximalfarbe (Ma):
LAB*LAB*Ma: 75 18 75
LAB*LCH*Ma: 75 72 69
%Umfang $u^*_R = 89$
%Regulartät $u^*_G = 72$
 $\beta^*_{a,b} = 57$

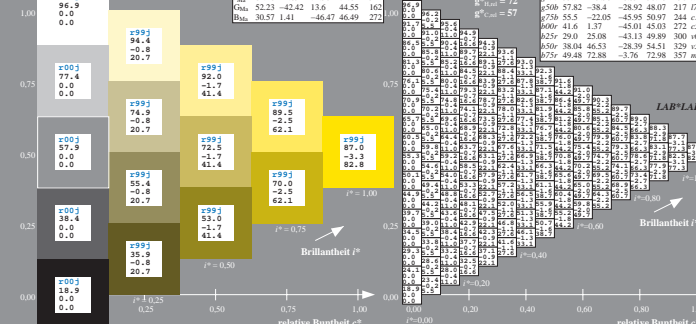
ORS19_96a; adaptierte CIELAB-Daten
Daten für Maximalfarbe (Ma):
LAB*LAB*Ma: 75 18 75
LAB*LCH*Ma: 75 72 69
%Umfang $u^*_R = 89$
%Regulartät $u^*_G = 72$
 $\beta^*_{a,b} = 57$



Ein und Ausgabe: Farbmetrisches Drucker-Reflektiv-System ORS19_96, L* = 19_96 für relativen CIELAB-Buntton $h^* = lab^*h^* = h_{ab}/360 = 0.256$ $u^*_R = 1000$
Farbmetrisches Drucker-Reflektiv-System ORS19_96, L* = 19_96 für relativen CIELAB-Buntton $h^* = lab^*h^* = h_{ab}/360 = 0.256$ $u^*_R = 1000$
Daten für jede Farbe:
 lab^*h^* und lab^*v^*
Bunttonwerte:
 $u^*_R = 1000$ $u^*_G = 0.2$
Kontrastreduzierungsfaktor:
 $c_R = 1.0$
Dreiecks-Heiligkeit β^*

ORS19_96a; adaptierte CIELAB-Daten
Daten für Maximalfarbe (Ma):
LAB*LAB*Ma: 87 -3 83
LAB*LCH*Ma: 87 83 92
%Umfang $u^*_R = 89$
%Regulartät $u^*_G = 72$
 $\beta^*_{a,b} = 57$

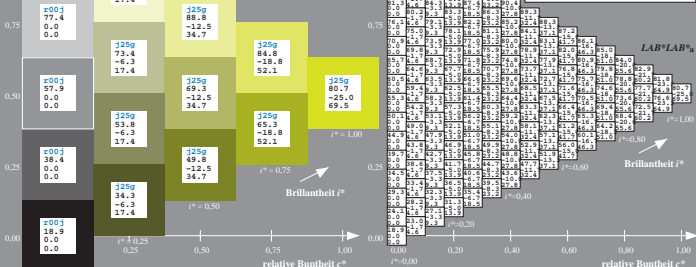
ORS19_96a; adaptierte CIELAB-Daten
Daten für Maximalfarbe (Ma):
LAB*LAB*Ma: 87 -3 83
LAB*LCH*Ma: 87 83 92
%Umfang $u^*_R = 89$
%Regulartät $u^*_G = 72$
 $\beta^*_{a,b} = 57$



Ein und Ausgabe: Farbmetrisches Drucker-Reflektiv-System ORS19_96, L* = 19_96 für relativen CIELAB-Buntton $h^* = lab^*h^* = h_{ab}/360 = 0.305$ $u^*_R = 2500$
Farbmetrisches Drucker-Reflektiv-System ORS19_96, L* = 19_96 für relativen CIELAB-Buntton $h^* = lab^*h^* = h_{ab}/360 = 0.305$ $u^*_R = 2500$
Daten für jede Farbe:
 lab^*h^* und lab^*v^*
Bunttonwerte:
 $u^*_R = 2500$ $u^*_G = 200$
Kontrastreduzierungsfaktor:
 $c_R = 1.0$
Dreiecks-Heiligkeit β^*

ORS19_96a; adaptierte CIELAB-Daten
Daten für Maximalfarbe (Ma):
LAB*LAB*Ma: 81 -25 69
LAB*LCH*Ma: 81 74 109
%Umfang $u^*_R = 89$
%Regulartät $u^*_G = 72$
 $\beta^*_{a,b} = 57$

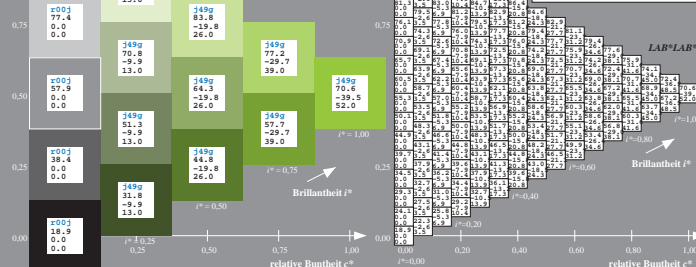
ORS19_96a; adaptierte CIELAB-Daten
Daten für Maximalfarbe (Ma):
LAB*LAB*Ma: 81 -25 69
LAB*LCH*Ma: 81 74 109
%Umfang $u^*_R = 89$
%Regulartät $u^*_G = 72$
 $\beta^*_{a,b} = 57$



Ein und Ausgabe: Farbmetrisches Drucker-Reflektiv-System ORS19_96, L* = 19_96 für relativen CIELAB-Buntton $h^* = lab^*h^* = h_{ab}/360 = 0.354$ $u^*_R = 5000$
Farbmetrisches Drucker-Reflektiv-System ORS19_96, L* = 19_96 für relativen CIELAB-Buntton $h^* = lab^*h^* = h_{ab}/360 = 0.354$ $u^*_R = 5000$
Daten für jede Farbe:
 lab^*h^* und lab^*v^*
Bunttonwerte:
 $u^*_R = 5000$ $u^*_G = 500$
Kontrastreduzierungsfaktor:
 $c_R = 1.0$
Dreiecks-Heiligkeit β^*

ORS19_96a; adaptierte CIELAB-Daten
Daten für Maximalfarbe (Ma):
LAB*LAB*Ma: 71 -40 52
LAB*LCH*Ma: 71 65 127
%Umfang $u^*_R = 89$
%Regulartät $u^*_G = 72$
 $\beta^*_{a,b} = 57$

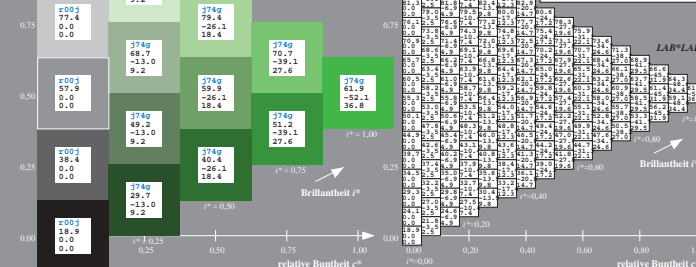
ORS19_96a; adaptierte CIELAB-Daten
Daten für Maximalfarbe (Ma):
LAB*LAB*Ma: 71 -40 52
LAB*LCH*Ma: 71 65 127
%Umfang $u^*_R = 89$
%Regulartät $u^*_G = 72$
 $\beta^*_{a,b} = 57$

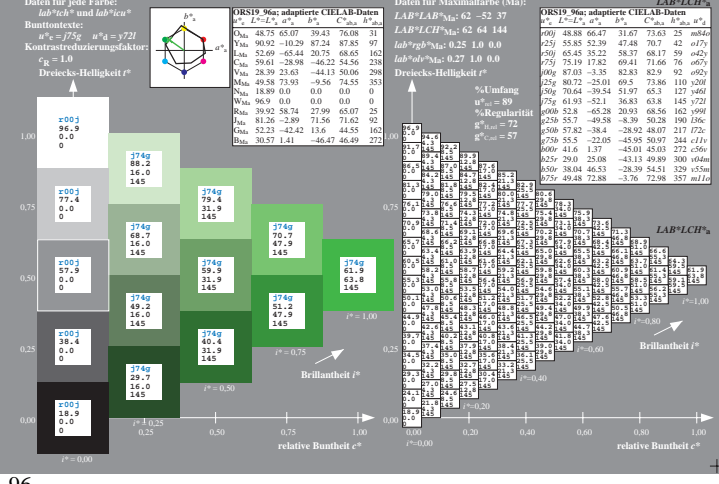
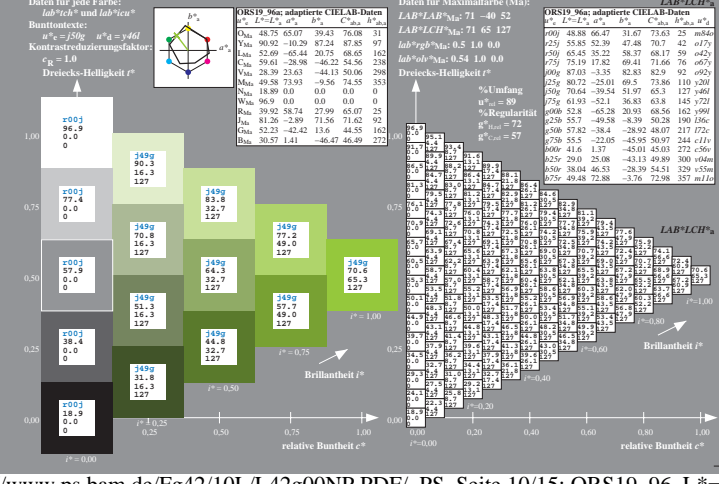
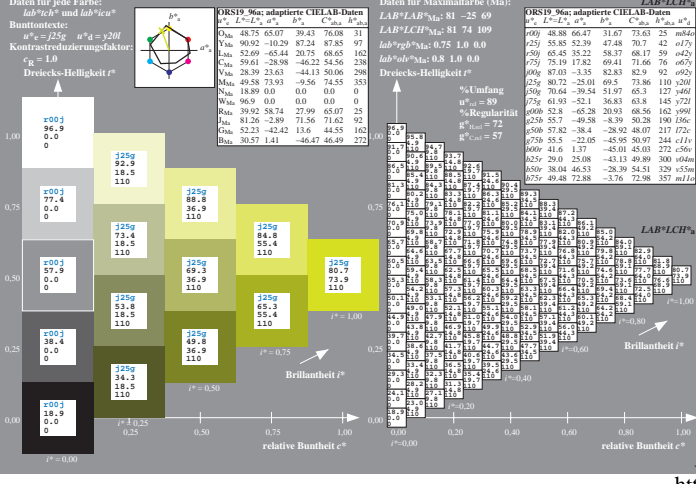
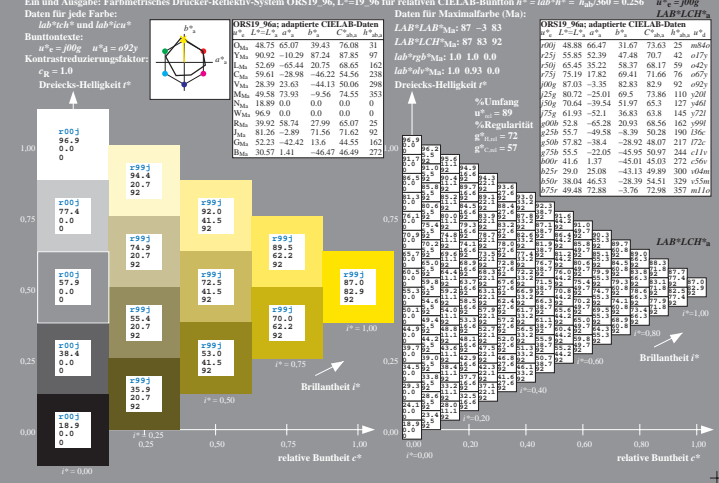
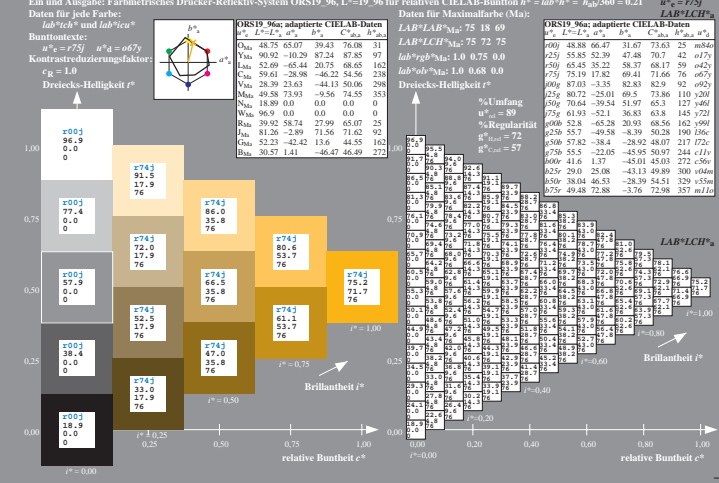
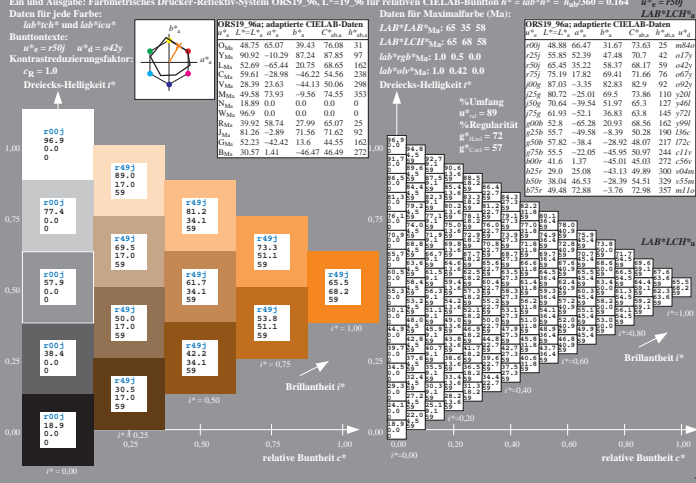
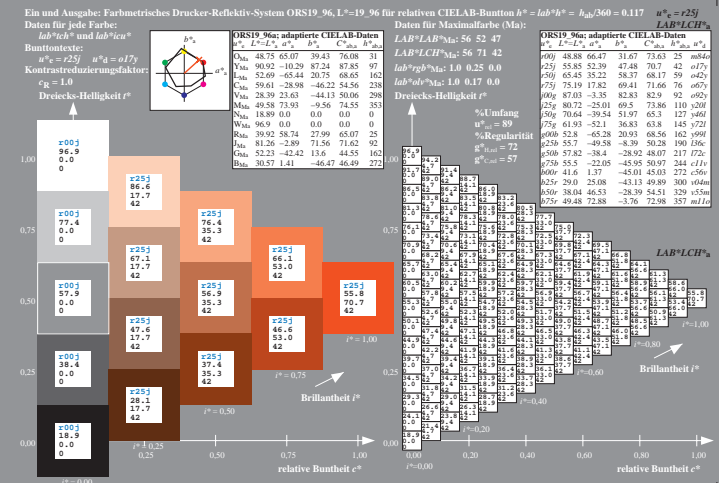
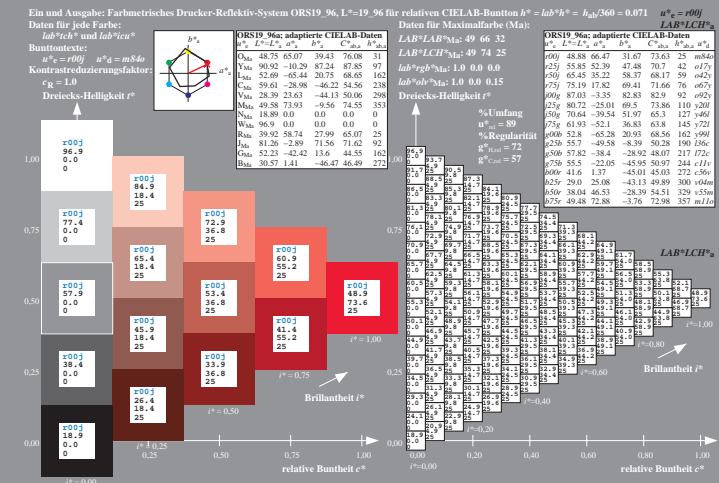
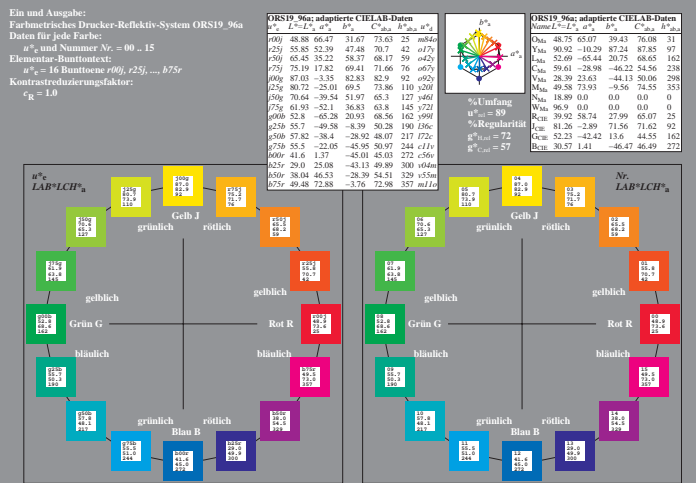


Ein und Ausgabe: Farbmetrisches Drucker-Reflektiv-System ORS19_96, L* = 19_96 für relativen CIELAB-Buntton $h^* = lab^*h^* = h_{ab}/360 = 0.402$ $u^*_R = 7500$
Farbmetrisches Drucker-Reflektiv-System ORS19_96, L* = 19_96 für relativen CIELAB-Buntton $h^* = lab^*h^* = h_{ab}/360 = 0.402$ $u^*_R = 7500$
Daten für jede Farbe:
 lab^*h^* und lab^*v^*
Bunttonwerte:
 $u^*_R = 7500$ $u^*_G = 750$
Kontrastreduzierungsfaktor:
 $c_R = 1.0$
Dreiecks-Heiligkeit β^*

ORS19_96a; adaptierte CIELAB-Daten
Daten für Maximalfarbe (Ma):
LAB*LAB*Ma: 62 -52 37
LAB*LCH*Ma: 62 64 144
%Umfang $u^*_R = 89$
%Regulartät $u^*_G = 72$
 $\beta^*_{a,b} = 57$

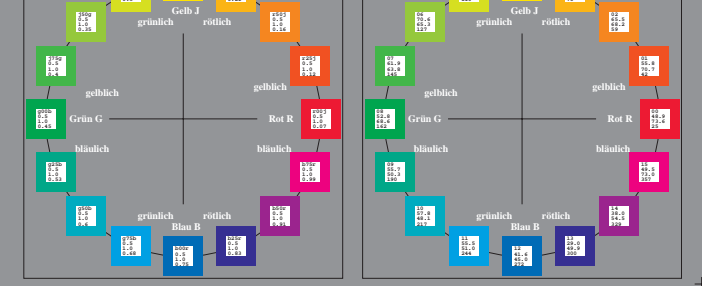
ORS19_96a; adaptierte CIELAB-Daten
Daten für Maximalfarbe (Ma):
LAB*LAB*Ma: 62 -52 37
LAB*LCH*Ma: 62 64 144
%Umfang $u^*_R = 89$
%Regulartät $u^*_G = 72$
 $\beta^*_{a,b} = 57$



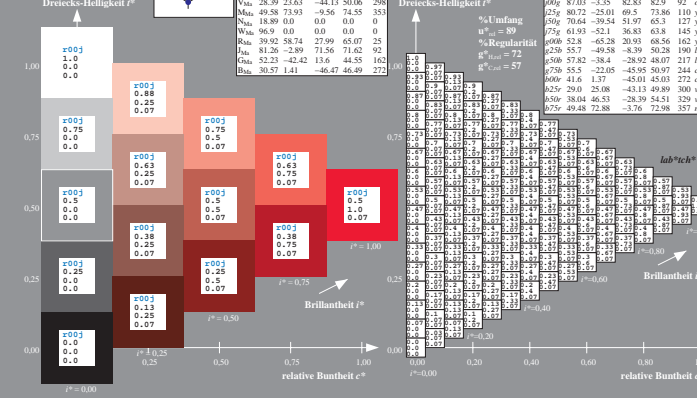


Ein und Ausgabe: Farbmetrisches Drucker-Reflexiv-System ORS19_96a
 Daten für jede Farbe:
 u^*_e und Nummer Nr. = 00...15
 Elementar-Bunttonen:
 $u^*_e = 16$ Bunttonen 00j, r25j, ... b75r
 Kontrastreduzierungsfaktor:
 $c_R = 1.0$

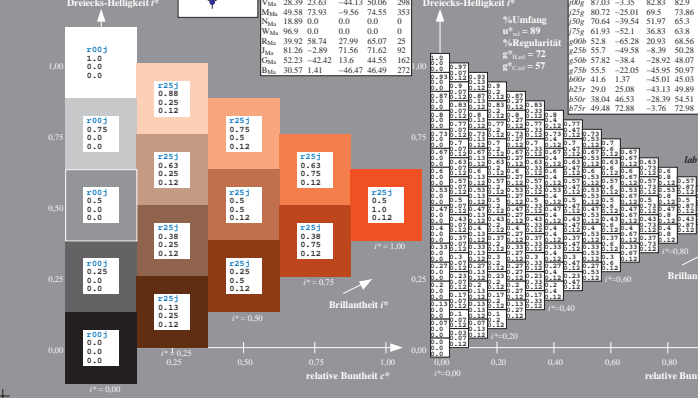
ORS19_96a; adaptierte CIELAB-Daten		ORS19_96a; adaptierte CIELAB-Daten	
L^*	a^*	L^*	a^*
25j	58.88 66.47	31.67	73.63 25 m04a
25r	55.85 52.39	47.48	70.72 42 o17r
50j	65.45 32.22	58.37	68.17 59 o42j
50r	75.19 17.82	69.41	71.66 76 o67r
75j	87.03 -3.35	82.83	82.9 92 o92j
75r	80.72 -25.01	69.5	73.86 110 o20r
100j	70.64 -39.54	51.97	65.3 127 o46j
100r	61.93 -52.1	36.83	63.8 145 o72r
125j	48.28 65.07	39.43	76.08 31 m04a
125r	52.69 -65.44	20.75	68.65 162 m04a
150j	59.61 -28.08	-46.22	54.56 238 m04a
150r	28.39 23.63	-44.13	50.06 298 m04a
175j	49.58 73.93	-9.56	74.55 353 m04a
175r	96.9 0.0	0.0	0.0 0 m04a
200j	39.92 58.74	27.99	65.07 25 m04a
200r	81.26 -2.89	71.56	71.62 92 m04a
225j	57.82 -38.4	-28.92	48.07 217 o72j
225r	52.23 -42.42	13.6	-44.55 162 m04a
250j	60.9 41.17	-45.01	45.03 272 o56j
250r	65.9 29.0	25.08	-43.13 49.89 300 o46m
275j	48.04 46.53	-28.39	54.31 329 o55m
275r	49.48 72.88	-3.76	72.98 357 m16r



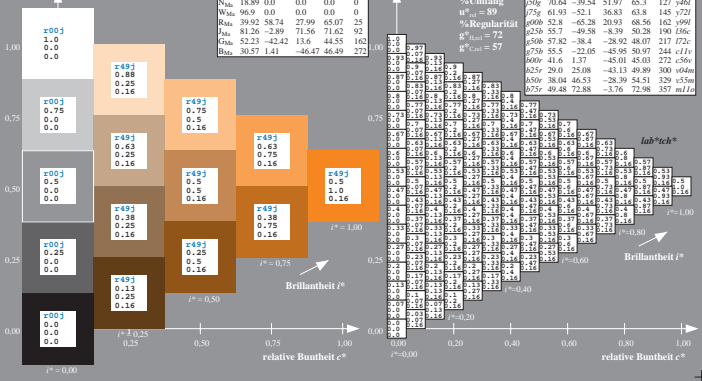
Ein und Ausgabe: Farbmetrisches Drucker-Reflexiv-System ORS19_96, L*=19_96 für relative CIELAB-Buntton (Ma):
 $h^* = lab^*h^* = h_{ab}/360 = 0.071$ $u^*_e = r00j$
 Daten für jede Farbe:
 lab^*ich^* und lab^*icv^*
 Bunttonstexte:
 $u^*_e = r00j$ $u^*_d = m80a$
 Kontrastreduzierungsfaktor:
 $c_R = 1.0$
 Dreiecks-Heiligkeit I^*



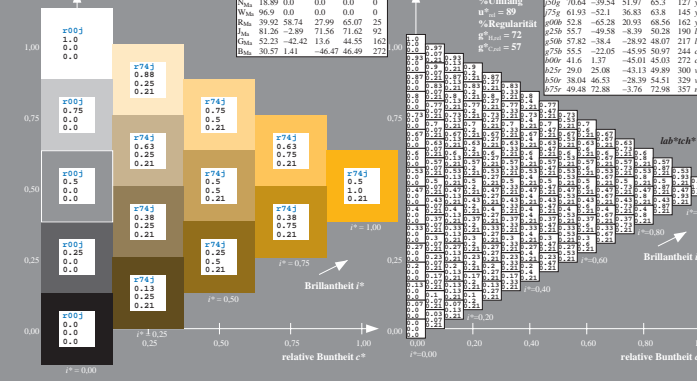
Ein und Ausgabe: Farbmetrisches Drucker-Reflexiv-System ORS19_96, L*=19_96 für relative CIELAB-Buntton (Ma):
 $h^* = lab^*h^* = h_{ab}/360 = 0.117$ $u^*_e = r25j$
 Daten für jede Farbe:
 lab^*ich^* und lab^*icv^*
 Bunttonstexte:
 $u^*_e = r25j$ $u^*_d = o17r$
 Kontrastreduzierungsfaktor:
 $c_R = 1.0$
 Dreiecks-Heiligkeit I^*



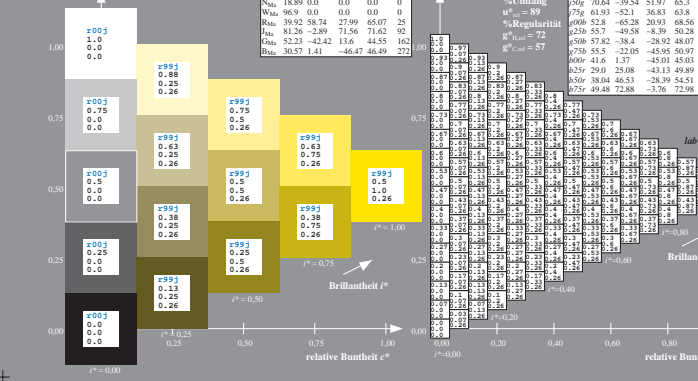
Ein und Ausgabe: Farbmetrisches Drucker-Reflexiv-System ORS19_96, L*=19_96 für relative CIELAB-Buntton (Ma):
 $h^* = lab^*h^* = h_{ab}/360 = 0.164$ $u^*_e = r50j$
 Daten für jede Farbe:
 lab^*ich^* und lab^*icv^*
 Bunttonstexte:
 $u^*_e = r50j$ $u^*_d = o42j$
 Kontrastreduzierungsfaktor:
 $c_R = 1.0$
 Dreiecks-Heiligkeit I^*



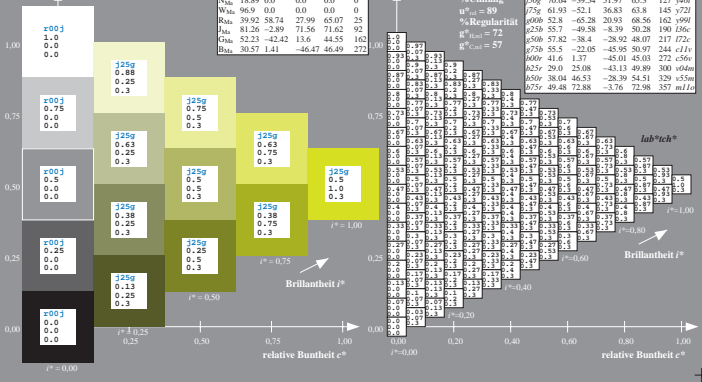
Ein und Ausgabe: Farbmetrisches Drucker-Reflexiv-System ORS19_96, L*=19_96 für relative CIELAB-Buntton (Ma):
 $h^* = lab^*h^* = h_{ab}/360 = 0.21$ $u^*_e = r75j$
 Daten für jede Farbe:
 lab^*ich^* und lab^*icv^*
 Bunttonstexte:
 $u^*_e = r75j$ $u^*_d = o67r$
 Kontrastreduzierungsfaktor:
 $c_R = 1.0$
 Dreiecks-Heiligkeit I^*



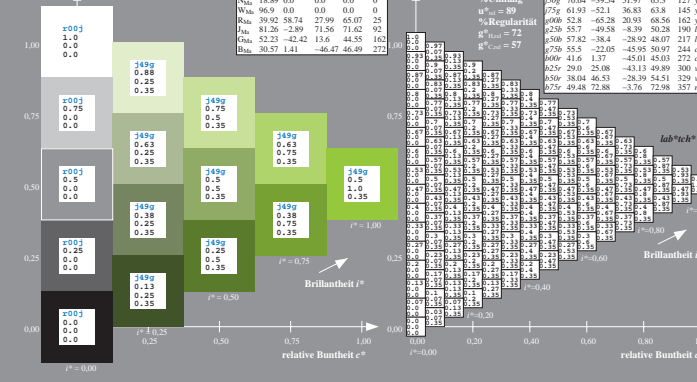
Ein und Ausgabe: Farbmetrisches Drucker-Reflexiv-System ORS19_96, L*=19_96 für relative CIELAB-Buntton (Ma):
 $h^* = lab^*h^* = h_{ab}/360 = 0.256$ $u^*_e = r00g$
 Daten für jede Farbe:
 lab^*ich^* und lab^*icv^*
 Bunttonstexte:
 $u^*_e = r00g$ $u^*_d = o92j$
 Kontrastreduzierungsfaktor:
 $c_R = 1.0$
 Dreiecks-Heiligkeit I^*



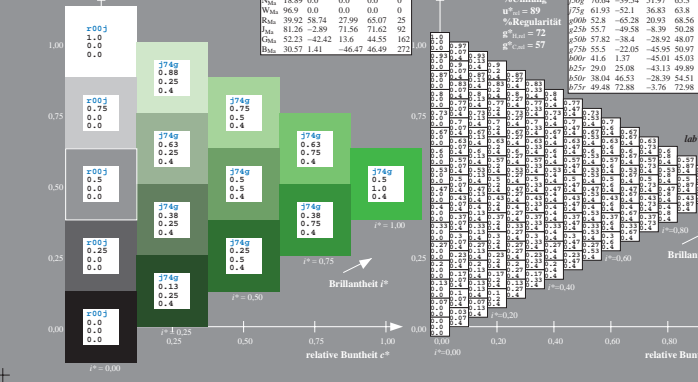
Ein und Ausgabe: Farbmetrisches Drucker-Reflexiv-System ORS19_96, L*=19_96 für relative CIELAB-Buntton (Ma):
 $h^* = lab^*h^* = h_{ab}/360 = 0.305$ $u^*_e = r25g$
 Daten für jede Farbe:
 lab^*ich^* und lab^*icv^*
 Bunttonstexte:
 $u^*_e = r25g$ $u^*_d = r20l$
 Kontrastreduzierungsfaktor:
 $c_R = 1.0$
 Dreiecks-Heiligkeit I^*



Ein und Ausgabe: Farbmetrisches Drucker-Reflexiv-System ORS19_96, L*=19_96 für relative CIELAB-Buntton (Ma):
 $h^* = lab^*h^* = h_{ab}/360 = 0.354$ $u^*_e = r50g$
 Daten für jede Farbe:
 lab^*ich^* und lab^*icv^*
 Bunttonstexte:
 $u^*_e = r50g$ $u^*_d = r46d$
 Kontrastreduzierungsfaktor:
 $c_R = 1.0$
 Dreiecks-Heiligkeit I^*



Ein und Ausgabe: Farbmetrisches Drucker-Reflexiv-System ORS19_96, L*=19_96 für relative CIELAB-Buntton (Ma):
 $h^* = lab^*h^* = h_{ab}/360 = 0.402$ $u^*_e = r75g$
 Daten für jede Farbe:
 lab^*ich^* und lab^*icv^*
 Bunttonstexte:
 $u^*_e = r75g$ $u^*_d = r77l$
 Kontrastreduzierungsfaktor:
 $c_R = 1.0$
 Dreiecks-Heiligkeit I^*



Ein und Ausgabe: Farbmetrisches Drucker-Reflexiv-System ORS19_96a
Daten für jede Farbe:
 u^*_e und Nummer $N_e = 00 \dots 15$
Elementar-Bunttonstext:
 $u^*_e = 16$ Bunttonne $000; r25j; a; b75r$
Kontrastreduzierungsfaktor:
 $c_R = 1.0$

ORS19_96a; adaptierte CIELAB-Daten
Daten für Maximalfarbe (Ma):
 L^*_{max} , a^*_{max} , b^*_{max} , C_{max} , H_{max} , m^*_a , m^*_b
Yam: 48.75 65.07 31.67 73.63 25 mda
Zam: 55.85 52.39 47.48 70.7 42 a7y
Wam: 65.45 52.22 58.37 68.17 59 a2y
Zam: 75.19 17.82 69.41 71.66 76 a6y
Yam: 87.03 -3.35 82.83 82.9 92 a9y
Zam: 80.72 -25.01 69.5 73.86 110 z0a
Wam: 70.64 -39.54 51.97 65.3 127 y6l
Zam: 61.93 -52.1 36.83 63.8 145 y7z
Wam: 49.28 52.8 29.93 65.86 162 y9w
Zam: 55.7 -49.58 -8.39 50.28 190 i8e
Wam: 57.82 -38.4 -28.62 48.07 217 i7z
Zam: 57.59 55.5 -22.05 -45.95 80.97 244 i1a
Wam: 41.6 1.37 -45.01 45.03 272 c5e
Zam: 29.9 25.08 -43.13 49.89 300 e4m
Wam: 38.04 46.53 -28.39 54.31 329 v5m
Zam: 49.48 72.88 -3.76 72.98 357 ml1a

ORS19_96a; adaptierte CIELAB-Daten
Daten für Maximalfarbe (Ma):
 L^*_{max} , a^*_{max} , b^*_{max} , C_{max} , H_{max} , m^*_a , m^*_b
Yam: 48.75 65.07 31.67 73.63 25 mda
Zam: 55.85 52.39 47.48 70.7 42 a7y
Wam: 65.45 52.22 58.37 68.17 59 a2y
Zam: 75.19 17.82 69.41 71.66 76 a6y
Yam: 87.03 -3.35 82.83 82.9 92 a9y
Zam: 80.72 -25.01 69.5 73.86 110 z0a
Wam: 70.64 -39.54 51.97 65.3 127 y6l
Zam: 61.93 -52.1 36.83 63.8 145 y7z
Wam: 49.28 52.8 29.93 65.86 162 y9w
Zam: 55.7 -49.58 -8.39 50.28 190 i8e
Wam: 57.82 -38.4 -28.62 48.07 217 i7z
Zam: 57.59 55.5 -22.05 -45.95 80.97 244 i1a
Wam: 41.6 1.37 -45.01 45.03 272 c5e
Zam: 29.9 25.08 -43.13 49.89 300 e4m
Wam: 38.04 46.53 -28.39 54.31 329 v5m
Zam: 49.48 72.88 -3.76 72.98 357 ml1a

ORS19_96a; adaptierte CIELAB-Daten
Daten für Maximalfarbe (Ma):
 L^*_{max} , a^*_{max} , b^*_{max} , C_{max} , H_{max} , m^*_a , m^*_b
Yam: 48.75 65.07 31.67 73.63 25 mda
Zam: 55.85 52.39 47.48 70.7 42 a7y
Wam: 65.45 52.22 58.37 68.17 59 a2y
Zam: 75.19 17.82 69.41 71.66 76 a6y
Yam: 87.03 -3.35 82.83 82.9 92 a9y
Zam: 80.72 -25.01 69.5 73.86 110 z0a
Wam: 70.64 -39.54 51.97 65.3 127 y6l
Zam: 61.93 -52.1 36.83 63.8 145 y7z
Wam: 49.28 52.8 29.93 65.86 162 y9w
Zam: 55.7 -49.58 -8.39 50.28 190 i8e
Wam: 57.82 -38.4 -28.62 48.07 217 i7z
Zam: 57.59 55.5 -22.05 -45.95 80.97 244 i1a
Wam: 41.6 1.37 -45.01 45.03 272 c5e
Zam: 29.9 25.08 -43.13 49.89 300 e4m
Wam: 38.04 46.53 -28.39 54.31 329 v5m
Zam: 49.48 72.88 -3.76 72.98 357 ml1a

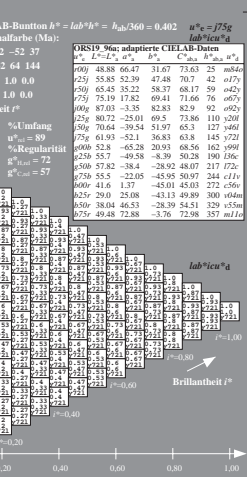
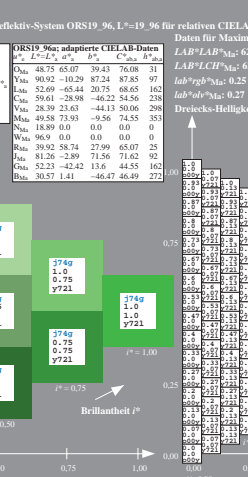
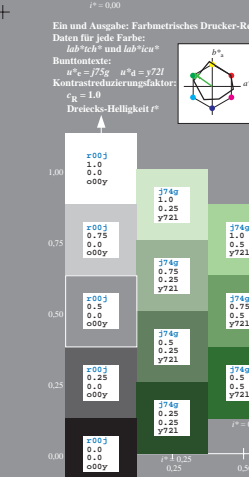
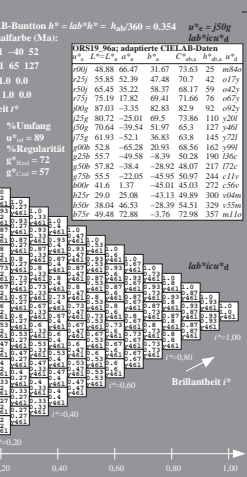
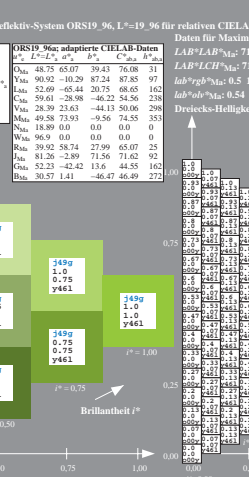
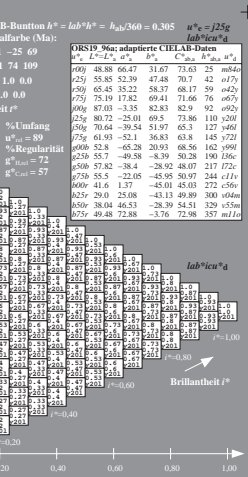
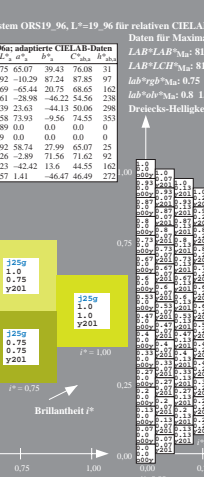
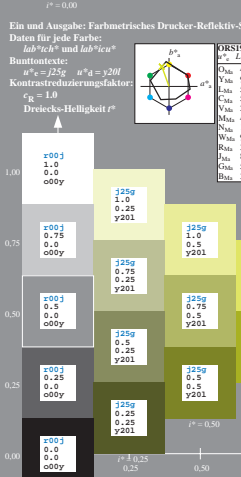
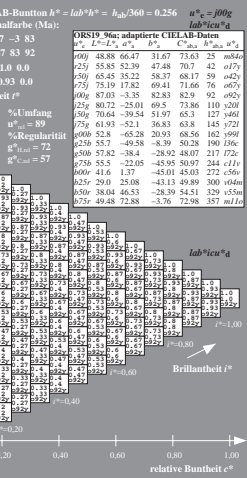
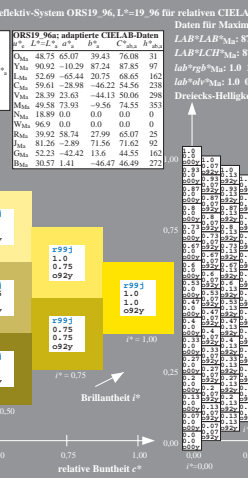
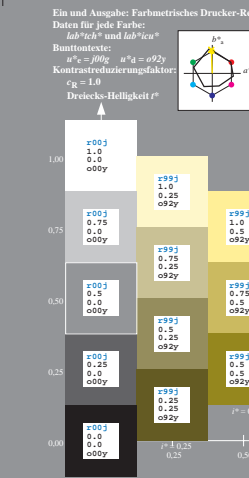
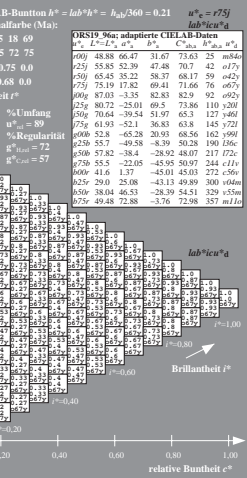
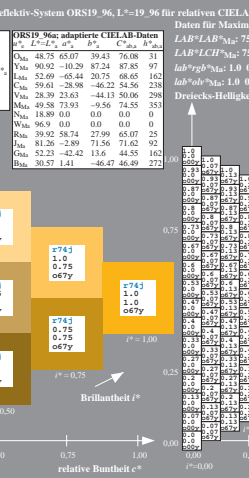
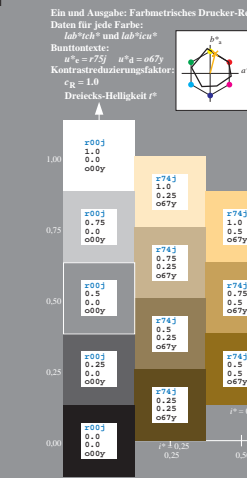
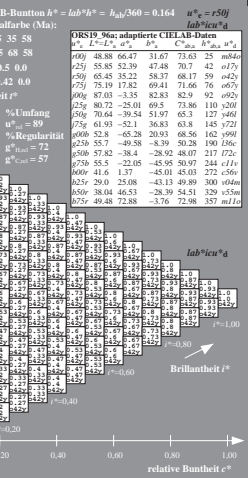
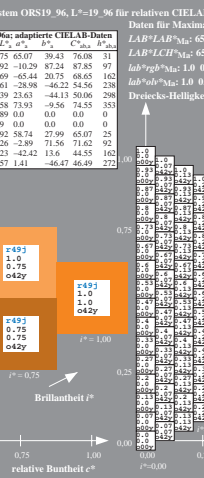
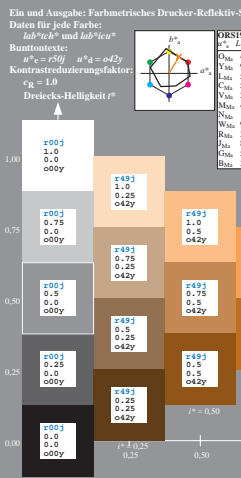
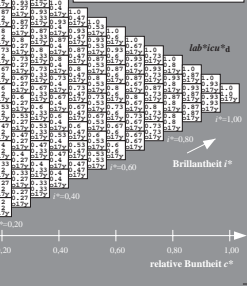
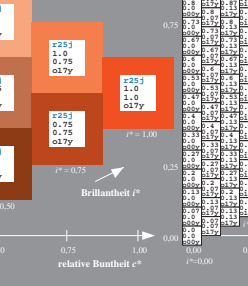
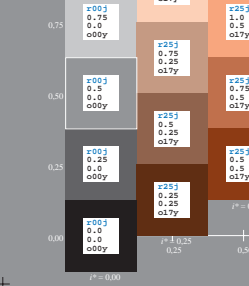
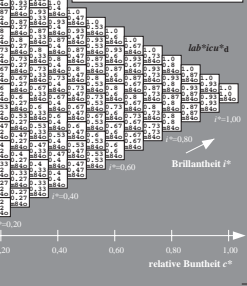
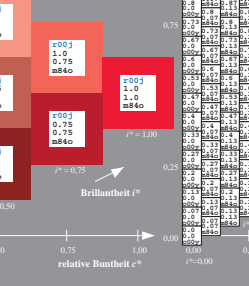
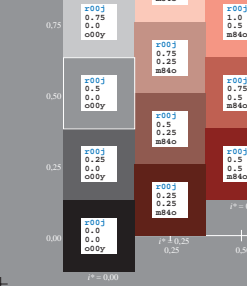
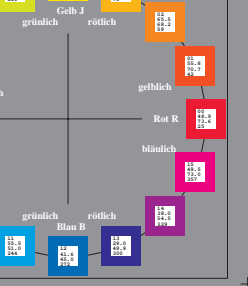
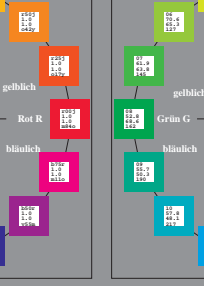
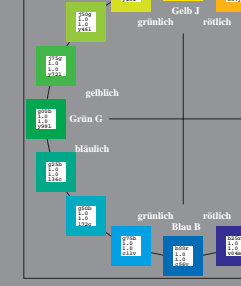
ORS19_96a; adaptierte CIELAB-Daten
Daten für Maximalfarbe (Ma):
 L^*_{max} , a^*_{max} , b^*_{max} , C_{max} , H_{max} , m^*_a , m^*_b
Yam: 48.75 65.07 31.67 73.63 25 mda
Zam: 55.85 52.39 47.48 70.7 42 a7y
Wam: 65.45 52.22 58.37 68.17 59 a2y
Zam: 75.19 17.82 69.41 71.66 76 a6y
Yam: 87.03 -3.35 82.83 82.9 92 a9y
Zam: 80.72 -25.01 69.5 73.86 110 z0a
Wam: 70.64 -39.54 51.97 65.3 127 y6l
Zam: 61.93 -52.1 36.83 63.8 145 y7z
Wam: 49.28 52.8 29.93 65.86 162 y9w
Zam: 55.7 -49.58 -8.39 50.28 190 i8e
Wam: 57.82 -38.4 -28.62 48.07 217 i7z
Zam: 57.59 55.5 -22.05 -45.95 80.97 244 i1a
Wam: 41.6 1.37 -45.01 45.03 272 c5e
Zam: 29.9 25.08 -43.13 49.89 300 e4m
Wam: 38.04 46.53 -28.39 54.31 329 v5m
Zam: 49.48 72.88 -3.76 72.98 357 ml1a

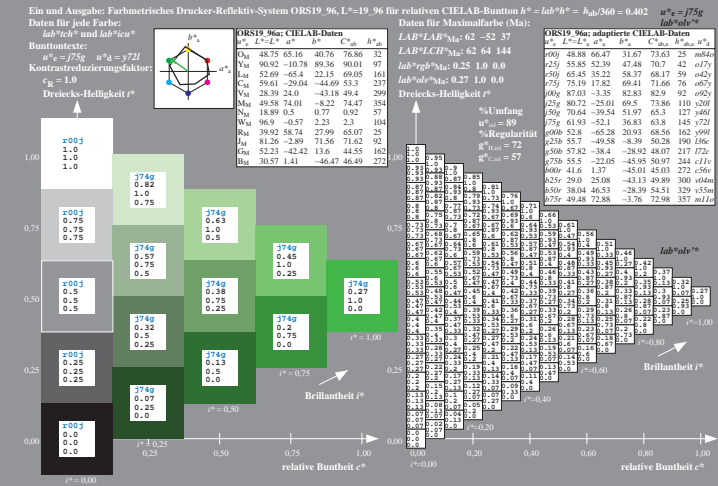
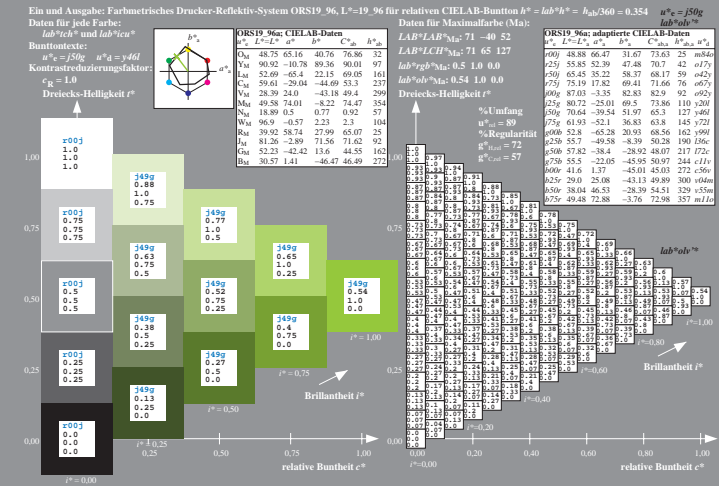
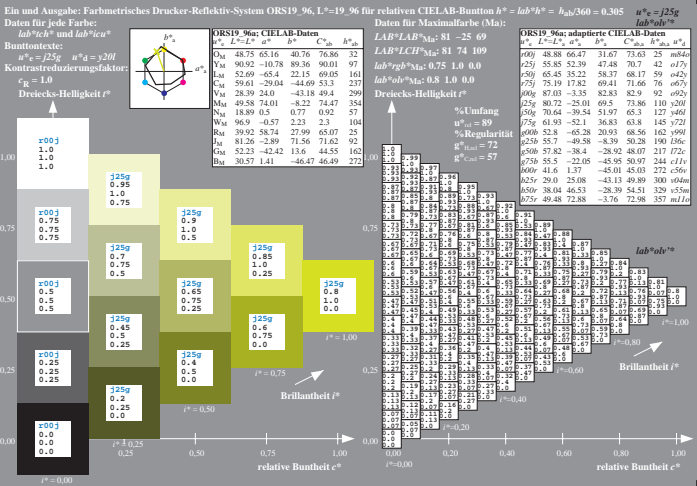
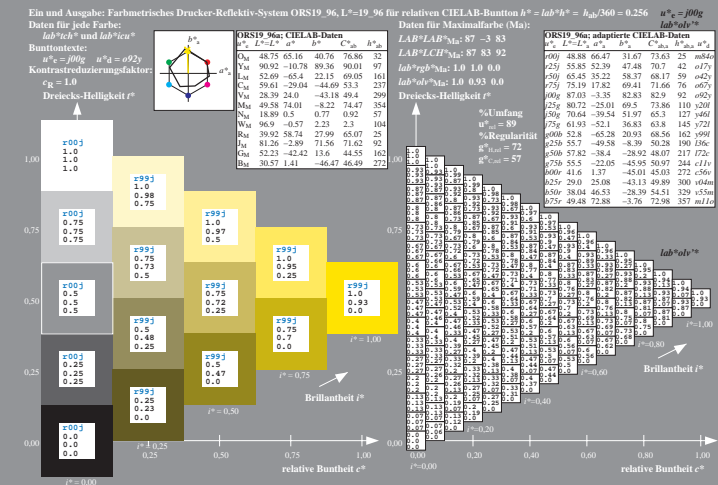
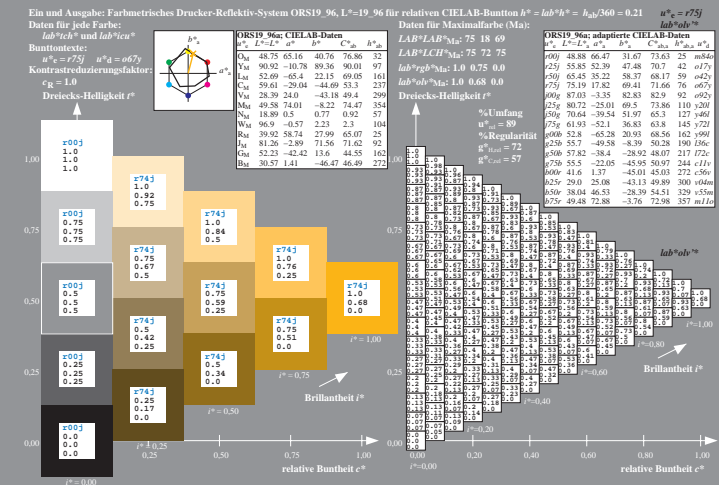
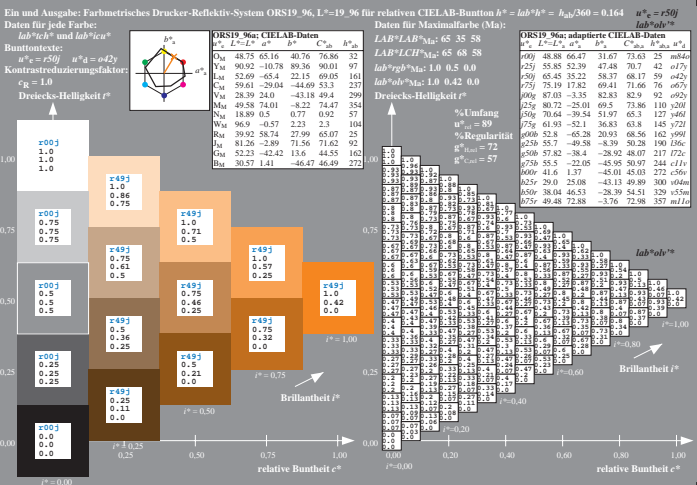
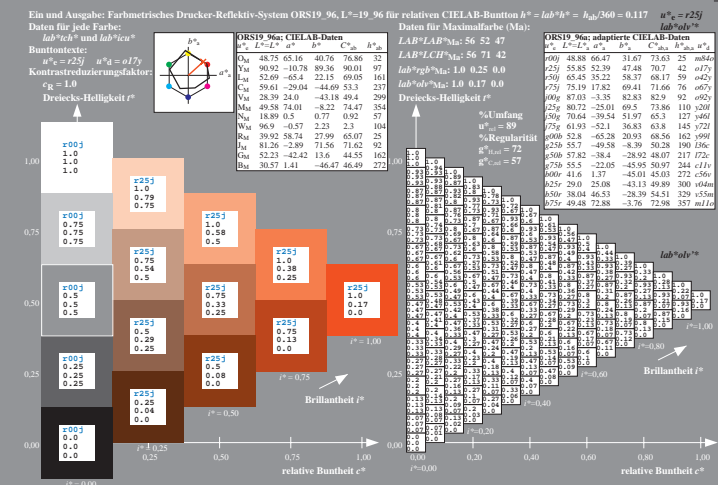
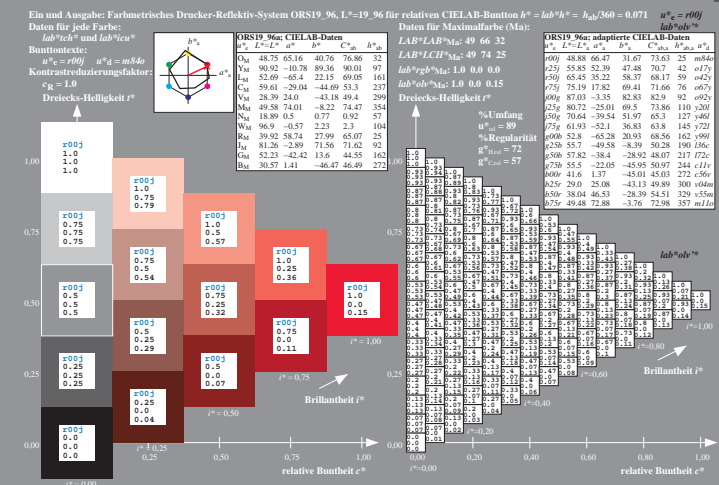
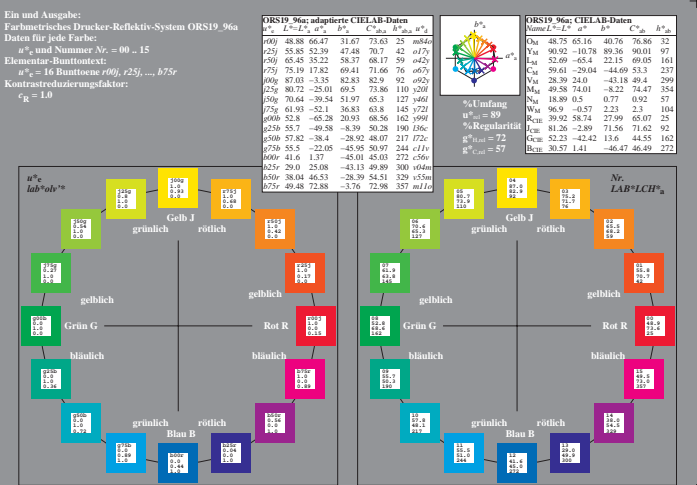
ORS19_96a; adaptierte CIELAB-Daten
Daten für Maximalfarbe (Ma):
 L^*_{max} , a^*_{max} , b^*_{max} , C_{max} , H_{max} , m^*_a , m^*_b
Yam: 48.75 65.07 31.67 73.63 25 mda
Zam: 55.85 52.39 47.48 70.7 42 a7y
Wam: 65.45 52.22 58.37 68.17 59 a2y
Zam: 75.19 17.82 69.41 71.66 76 a6y
Yam: 87.03 -3.35 82.83 82.9 92 a9y
Zam: 80.72 -25.01 69.5 73.86 110 z0a
Wam: 70.64 -39.54 51.97 65.3 127 y6l
Zam: 61.93 -52.1 36.83 63.8 145 y7z
Wam: 49.28 52.8 29.93 65.86 162 y9w
Zam: 55.7 -49.58 -8.39 50.28 190 i8e
Wam: 57.82 -38.4 -28.62 48.07 217 i7z
Zam: 57.59 55.5 -22.05 -45.95 80.97 244 i1a
Wam: 41.6 1.37 -45.01 45.03 272 c5e
Zam: 29.9 25.08 -43.13 49.89 300 e4m
Wam: 38.04 46.53 -28.39 54.31 329 v5m
Zam: 49.48 72.88 -3.76 72.98 357 ml1a

ORS19_96a; adaptierte CIELAB-Daten
Daten für Maximalfarbe (Ma):
 L^*_{max} , a^*_{max} , b^*_{max} , C_{max} , H_{max} , m^*_a , m^*_b
Yam: 48.75 65.07 31.67 73.63 25 mda
Zam: 55.85 52.39 47.48 70.7 42 a7y
Wam: 65.45 52.22 58.37 68.17 59 a2y
Zam: 75.19 17.82 69.41 71.66 76 a6y
Yam: 87.03 -3.35 82.83 82.9 92 a9y
Zam: 80.72 -25.01 69.5 73.86 110 z0a
Wam: 70.64 -39.54 51.97 65.3 127 y6l
Zam: 61.93 -52.1 36.83 63.8 145 y7z
Wam: 49.28 52.8 29.93 65.86 162 y9w
Zam: 55.7 -49.58 -8.39 50.28 190 i8e
Wam: 57.82 -38.4 -28.62 48.07 217 i7z
Zam: 57.59 55.5 -22.05 -45.95 80.97 244 i1a
Wam: 41.6 1.37 -45.01 45.03 272 c5e
Zam: 29.9 25.08 -43.13 49.89 300 e4m
Wam: 38.04 46.53 -28.39 54.31 329 v5m
Zam: 49.48 72.88 -3.76 72.98 357 ml1a

ORS19_96a; adaptierte CIELAB-Daten
Daten für Maximalfarbe (Ma):
 L^*_{max} , a^*_{max} , b^*_{max} , C_{max} , H_{max} , m^*_a , m^*_b
Yam: 48.75 65.07 31.67 73.63 25 mda
Zam: 55.85 52.39 47.48 70.7 42 a7y
Wam: 65.45 52.22 58.37 68.17 59 a2y
Zam: 75.19 17.82 69.41 71.66 76 a6y
Yam: 87.03 -3.35 82.83 82.9 92 a9y
Zam: 80.72 -25.01 69.5 73.86 110 z0a
Wam: 70.64 -39.54 51.97 65.3 127 y6l
Zam: 61.93 -52.1 36.83 63.8 145 y7z
Wam: 49.28 52.8 29.93 65.86 162 y9w
Zam: 55.7 -49.58 -8.39 50.28 190 i8e
Wam: 57.82 -38.4 -28.62 48.07 217 i7z
Zam: 57.59 55.5 -22.05 -45.95 80.97 244 i1a
Wam: 41.6 1.37 -45.01 45.03 272 c5e
Zam: 29.9 25.08 -43.13 49.89 300 e4m
Wam: 38.04 46.53 -28.39 54.31 329 v5m
Zam: 49.48 72.88 -3.76 72.98 357 ml1a

ORS19_96a; adaptierte CIELAB-Daten
Daten für Maximalfarbe (Ma):
 L^*_{max} , a^*_{max} , b^*_{max} , C_{max} , H_{max} , m^*_a , m^*_b
Yam: 48.75 65.07 31.67 73.63 25 mda
Zam: 55.85 52.39 47.48 70.7 42 a7y
Wam: 65.45 52.22 58.37 68.17 59 a2y
Zam: 75.19 17.82 69.41 71.66 76 a6y
Yam: 87.03 -3.35 82.83 82.9 92 a9y
Zam: 80.72 -25.01 69.5 73.86 110 z0a
Wam: 70.64 -39.54 51.97 65.3 127 y6l
Zam: 61.93 -52.1 36.83 63.8 145 y7z
Wam: 49.28 52.8 29.93 65.86 162 y9w
Zam: 55.7 -49.58 -8.39 50.28 190 i8e
Wam: 57.82 -38.4 -28.62 48.07 217 i7z
Zam: 57.59 55.5 -22.05 -45.95 80.97 244 i1a
Wam: 41.6 1.37 -45.01 45.03 272 c5e
Zam: 29.9 25.08 -43.13 49.89 300 e4m
Wam: 38.04 46.53 -28.39 54.31 329 v5m
Zam: 49.48 72.88 -3.76 72.98 357 ml1a





Ein und Ausgabe: Farbmetrisches Drucker-Reflexiv-System ORS19_96a
 Daten für jede Farbe:
 u^*_e und Nummer Nr. = 00...15
 Elementar-Bunttonstoffe:
 $u^*_e = 16$ Bunttonstoffe $001; r25j; \dots; b75r$
 Kontrastreduzierungs-faktor:
 $c_R = 1.0$

ORS19_96a; adaptierte CIELAB-Daten	LAB ^a LAB ^b LAB ^c	LAB ^a LAB ^b LAB ^c				
Y ₅₀ L* a* b*	C ₁₀₀ C ₂₀ h ₁₀₀ h ₂₀	C ₁₀₀ C ₂₀ h ₁₀₀ h ₂₀				
Ya	48.75	65.16	31.67	73.63	25	m64e
Yb	55.85	52.39	47.48	70.17	42	o17f
Yc	65.45	32.22	58.37	68.17	59	o42z
Yd	75.19	17.82	69.41	71.66	76	o67r
Ye	87.03	-3.35	82.83	82.9	92	o92z
Yf	90.72	-25.01	69.5	73.86	110	z00e
Yg	70.64	-39.54	51.97	65.3	127	y46f
Yh	61.93	-52.1	36.83	63.8	145	y72f
Yi	60.0	-52.8	20.93	65.86	162	y99e
Yj	55.7	-49.58	-8.39	50.28	190	i96e
Yk	57.82	-38.4	-28.62	48.07	217	i72z
Yl	55.5	-22.05	-45.95	50.97	244	i11e
Ym	41.6	1.37	-45.01	45.03	272	e56e
Yn	29.0	25.08	-43.19	49.89	300	e64e
Yo	38.04	46.53	-28.39	54.51	329	e55e
Yp	49.48	72.88	-3.76	72.98	357	m16e

ORS19_96a; CIELAB-Daten	LAB ^a LAB ^b LAB ^c					
Y ₅₀ L* a* b*	C ₁₀₀ C ₂₀ h ₁₀₀ h ₂₀					
Ya	48.75	65.16	31.67	73.63	25	m64e
Yb	55.85	52.39	47.48	70.17	42	o17f
Yc	65.45	32.22	58.37	68.17	59	o42z
Yd	75.19	17.82	69.41	71.66	76	o67r
Ye	87.03	-3.35	82.83	82.9	92	o92z
Yf	90.72	-25.01	69.5	73.86	110	z00e
Yg	70.64	-39.54	51.97	65.3	127	y46f
Yh	61.93	-52.1	36.83	63.8	145	y72f
Yi	60.0	-52.8	20.93	65.86	162	y99e
Yj	55.7	-49.58	-8.39	50.28	190	i96e
Yk	57.82	-38.4	-28.62	48.07	217	i72z
Yl	55.5	-22.05	-45.95	50.97	244	i11e
Ym	41.6	1.37	-45.01	45.03	272	e56e
Yn	29.0	25.08	-43.19	49.89	300	e64e
Yo	38.04	46.53	-28.39	54.51	329	e55e
Yp	49.48	72.88	-3.76	72.98	357	m16e

ORS19_96a; adaptierte CIELAB-Daten	LAB ^a LAB ^b LAB ^c					
Y ₅₀ L* a* b*	C ₁₀₀ C ₂₀ h ₁₀₀ h ₂₀					
Ya	48.75	65.16	31.67	73.63	25	m64e
Yb	55.85	52.39	47.48	70.17	42	o17f
Yc	65.45	32.22	58.37	68.17	59	o42z
Yd	75.19	17.82	69.41	71.66	76	o67r
Ye	87.03	-3.35	82.83	82.9	92	o92z
Yf	90.72	-25.01	69.5	73.86	110	z00e
Yg	70.64	-39.54	51.97	65.3	127	y46f
Yh	61.93	-52.1	36.83	63.8	145	y72f
Yi	60.0	-52.8	20.93	65.86	162	y99e
Yj	55.7	-49.58	-8.39	50.28	190	i96e
Yk	57.82	-38.4	-28.62	48.07	217	i72z
Yl	55.5	-22.05	-45.95	50.97	244	i11e
Ym	41.6	1.37	-45.01	45.03	272	e56e
Yn	29.0	25.08	-43.19	49.89	300	e64e
Yo	38.04	46.53	-28.39	54.51	329	e55e
Yp	49.48	72.88	-3.76	72.98	357	m16e

